

* Le Signal :

est la représentation physique de l'info.

* Le bruit :

tout phénomène perturbateur gênant la perception ou l'interprétation du signal.

* Théorie du Signal :

est une discipline technique, a pour objectif : la description mathématique des signaux.

* Traitement du signal :

est une discipline technique, a pour objectif : l'élaboration et l'interprétation des signaux.

* Traitement de l'information :

fournit un ensemble de concepts qui permet d'évaluer les performances des systèmes de transmission.

→ Codage de source : réduction de redondance.

→ Codage de canal : détection et correction des erreurs.

→ Cryptage : confidentialité.

* Théorie de Communication :

ensemble de concepts et méthodes développés dans le T.S et T.I.

* Fonctions du T.S : 2 Catégories :

①. Elaboration des signaux :

* Synthèse : création de signaux de forme appropriée.

* Modulation ; Changement de fréq. : adapter le signal aux caractéristiques du canal de transmission.

* Codage : traduction en code binaire. (quantification).

* Compression.

②. Interprétation des signaux :

* Filtrage : élimination de certaines composantes indésirables.

* Détection : extraction du signal d'un bruit (corrélation).

* Identification : classement d'un signal dans des catégories définies.

* Analyse : isolement des composantes utiles d'un signal (TF).

* Mesure : estimation d'une grandeurs caractéristiques d'un signal avec un certain degré de confiance (Valeur moyen...)

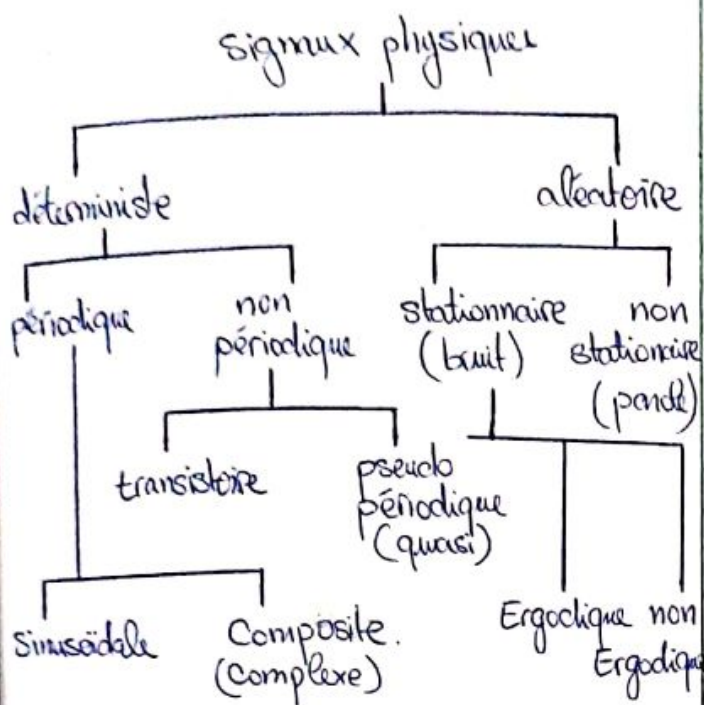
* Domaine d'application de T.S :

Tous les domaines concernés par la perception, la transmission ou l'exploitation de ces informations :

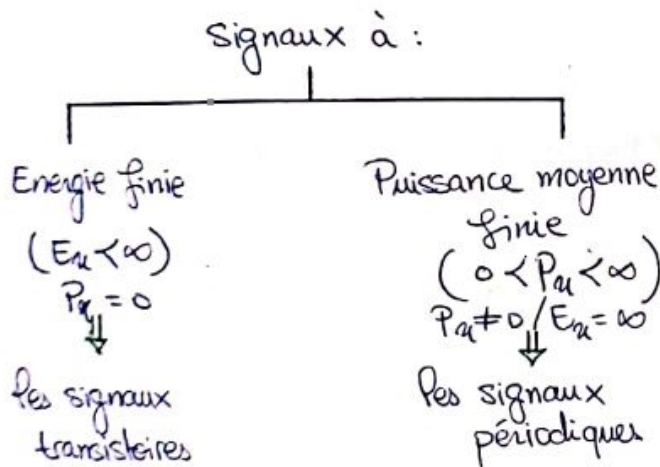
- Télécommunications
- Techniques de mesure.
- Analyses biomédicales.
- Radar, Sonar. [instrument de détection]
- Astronomie. [sone marine]
- Seismologie. [grill fl]
- ... etc. [digtal fl]

* Classification des signaux :

①. Classification phénoménologique :



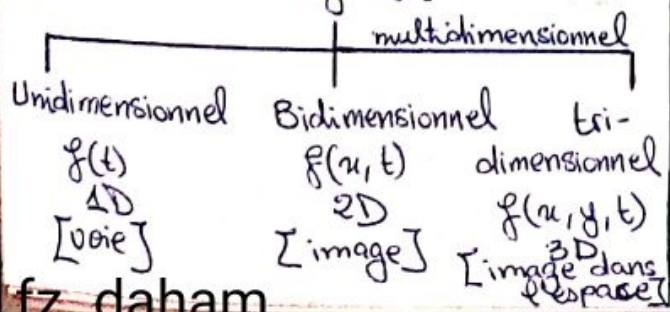
②. Classification Energétique :



③. Classification dimensionnelle :

les signaux se classent selon le nombre de variables indépendantes qu'ils possèdent:

Signal :

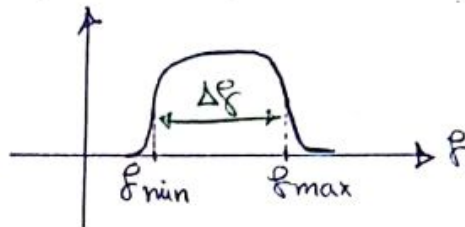


④. Classification spectrale (fréquentielle) :

On classe les signaux selon "la largeur de bande" occupé par la distribution de son énergie ou de sa puissance (spectre de signal) en fonction de sa fréquence.

→ Largeur de bande de fréquence :

$$\left\{ \begin{array}{l} B = \Delta f = f_{\max} - f_{\min} \\ f_{\text{moy}} = \frac{f_{\max} + f_{\min}}{2} \end{array} \right.$$



Signaux à :

bande étroite
($\frac{\Delta f}{f_{\text{moy}}}$ petit)

$$f_{\max} \approx f_{\min}$$

- BF
- HF
- VHF
- UHF
- SHF

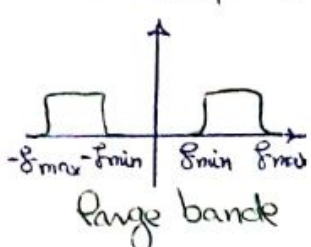
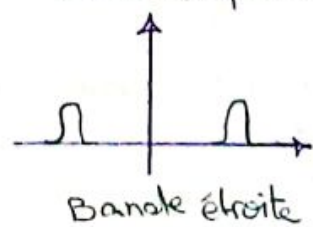
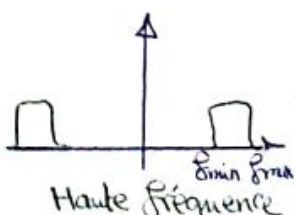
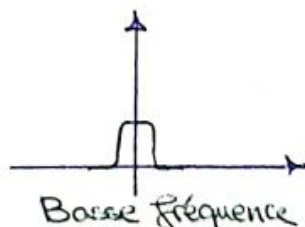
large bande
($\frac{\Delta f}{f_{\text{moy}}}$ grand)

$$f_{\max} \gg f_{\min}$$

- Signaux lumineux
 - infrarouge
 - visible
 - ultraviolet

→ classés selon la variation de la fréq. moyen.

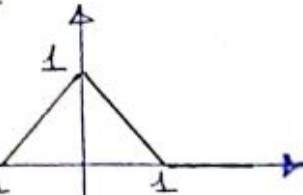
→ classés selon la largeur d'onde p q P_a fréq. est grande.



support borné = signaux à bande finie

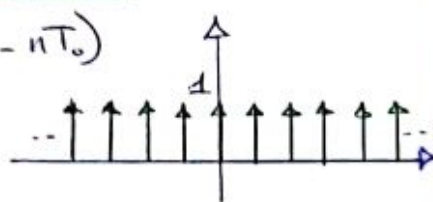
* fondion triangle :

$$\text{tri}(t) = \begin{cases} t+1 & ; |t| < 1 \\ 0 & ; \text{ailleurs} \end{cases}$$



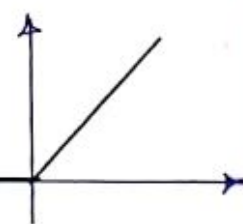
* Péigne de Dirac :

$$S_{T_0}(t) = \sum_{n=-\infty}^{\infty} S(t - nT_0)$$



* fondion Rampe :

$$r(t) = \begin{cases} t & ; t > 0 \\ 0 & ; \text{ailleurs} \end{cases}$$



* Parité :

→ signal pair: $u(-t) = u(t)$

→ signal impair: $u(-t) = -u(t)$

* Causalité :

→ $u(t)$ est causal si: $u(t) = 0$ pour $t < 0$.

* Périodicité :

$$u(t) = u(t + T)$$

* Signaux de durée finie (limite) :

* Le spectre nul en dehors d'une bande de fréquence appelée: "signal à bande limité"

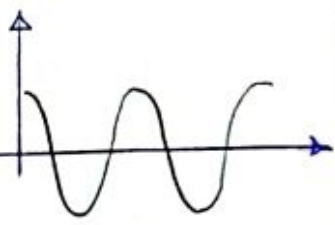
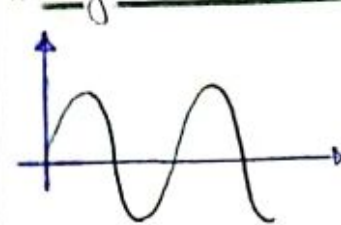
"signal à spectre à support borné"

càd:

amplitude = 0 pour $t \notin T$
spectre = 0 pour $f \notin \Delta f$

* Signaux particuliers :

* Signal sinusoïdal :

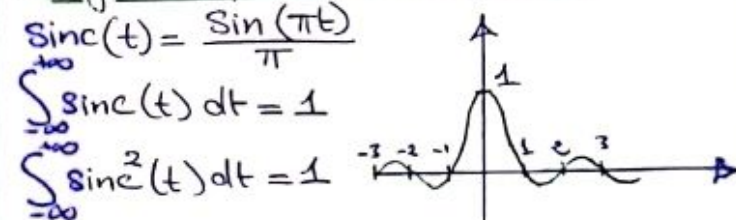


* Signal exponentiel complexe :

$$\text{sinc}(t) = \frac{\sin(\pi t)}{\pi}$$

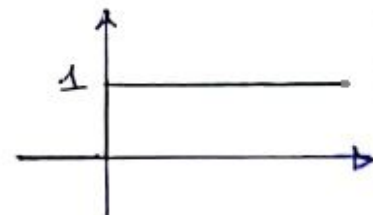
$$\int_{-\infty}^{\infty} \text{sinc}(t) dt = 1$$

$$\int_{-\infty}^{\infty} \text{sinc}^2(t) dt = 1$$



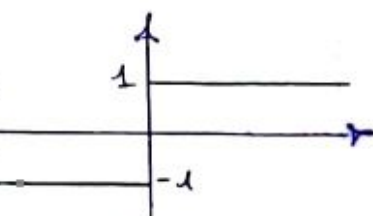
* fondion échelon unité (Heaviside) :

$$u(t) = \begin{cases} 1 & ; t \geq 0 \\ 0 & ; \text{ailleurs} \end{cases}$$

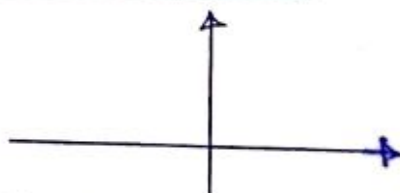


* fondion signe :

$$\text{sgn}(t) = \begin{cases} -1 & ; t < 0 \\ 1 & ; t > 0 \end{cases}$$

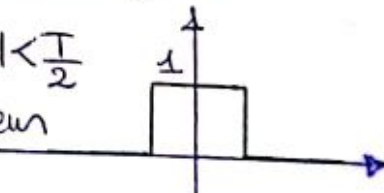


* fondion sinus cardinal (sinc) :



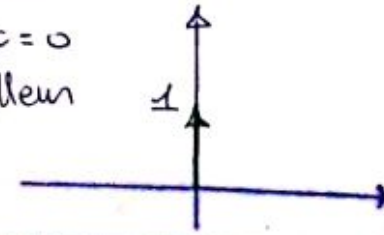
* fondion porte (rectangle) :

$$\text{rect}_T(t) = \begin{cases} 1 & ; |t| < \frac{T}{2} \\ 0 & ; \text{ailleurs} \end{cases}$$



* Impulsion de Dirac

$$\delta(t) = \begin{cases} \infty & ; t = 0 \\ 0 & ; \text{ailleurs} \end{cases}$$



Analyse des signaux périodiques:

Vers les séries de Fourier:

Joseph Fourier, qui travaillait sur la propagation de la chaleur sur des corps solides, a remarqué que la propagation de la chaleur sur un anneau ressemble à un mouvement harmonique. En physique nous donnons une expression plus générale à ce phénomène :

$$f(u, t) = A \cos\left(\frac{2\pi}{\lambda} u - \frac{2\pi}{T} t + \varphi\right)$$

f : le déplacement périodique de la vibration de l'objet.

λ : la période dans l'espace

T : la période dans le temps

φ : la phase (cte)

Si nous fixons la variable " u ", nous avons ici une fonction $f(t)$ périodique de période " T ".

L'idée de Fourier fut alors d'approximer le phénomène observé par une somme finie, constitué des harmoniques de la période fondamentale " T ".

L'approximation est : (SF en cosinus)

$$f(t) = \sum_{n=0}^{+\infty} A_n \cos(2\pi n f t + \varphi_n)$$

A_n : amplitude des harmoniques d'ordre "n".

Développement de "cosinus":

$$\begin{aligned} f(t) &= \sum_{n=0}^{+\infty} A_n \cos(2\pi n f t + \varphi_n) \\ &= \sum_{n=0}^{+\infty} A_n [\cos(2\pi n f t) \cos(\varphi_n) - \sin(2\pi n f t) \sin(\varphi_n)] \end{aligned}$$

$$\cos(\alpha + \beta) = \cos \alpha \cos \beta - \sin \alpha \sin \beta$$

$$\begin{cases} a_n = A_n \cos(\varphi_n) \\ b_n = -A_n \sin(\varphi_n) \end{cases}$$

La forme trigonométrique de la SF:

$$f(t) = \frac{a_0}{2} + \sum_{n=1}^{+\infty} [a_n \cos(2\pi n f t) + b_n \sin(2\pi n f t)]$$

Prenant en compte la relation trigonométrique suivante :

$$A \cos(\alpha) + B \sin(\alpha) = \sqrt{A^2 + B^2} \cos(\alpha - \arctg(-\frac{B}{A}))$$

donc :

$$\begin{cases} A_n = \sqrt{a_n^2 + b_n^2} \\ a_0 = \frac{a_0}{2} \\ \varphi_n = \arctg\left(-\frac{b_n}{a_n}\right) \end{cases}$$

Les coefficients de série de Fourier:

* $a_0 = ?$

$$\frac{2}{T} \int_0^T f(t) dt = \frac{2}{T} \int_0^T \frac{a_0}{2} dt + \sum_{n=1}^{+\infty} \int_0^T [a_n \times \cos(2\pi n f t) dt + b_n \sin(2\pi n f t) dt]$$

$$\Rightarrow \frac{2}{T} \int_0^T f(t) dt = \frac{2}{T} \int_0^T \frac{a_0}{2} dt = \frac{a_0}{T} [t]_0^T = \frac{a_0}{T} [T - 0]$$

$$\Rightarrow \frac{a_0}{2} = \frac{2}{T} \int_0^T f(t) dt$$

si on écrire :

$$u(t) = \frac{a_0}{2} + \sum_{n=1}^{+\infty} [a_n \cos(2\pi n f t) + b_n \sin(2\pi n f t)]$$

et si on écrire :

$$u(t) = a_0 + \sum_{n=1}^{+\infty} [a_n \cos(2\pi n f t) + b_n \sin(2\pi n f t)]$$

$$\Rightarrow a_0 = \frac{1}{T} \int_0^T f(t) dt$$

* $a_n = ?$

$$\begin{aligned} \frac{2}{T} \int_0^T f(t) \cos(2\pi n f t) dt &= \frac{2}{T} \int_0^T \frac{a_0}{2} \times \cos(2\pi n f t) dt + \sum_{n=1}^{+\infty} \left[\frac{2}{T} \int_0^T a_n \cos(2\pi n f t) \times \cos(2\pi m f t) dt + \frac{2}{T} \int_0^T b_n \sin(2\pi n f t) \cos(2\pi m f t) dt \right] \end{aligned}$$

$$*\int_I \cos(n) \cos(m) = 0$$

$$*\int_I \cos(n) \sin(m) = 0 \quad fz. daham$$

$$\rightarrow \frac{2}{T} \int_0^T f(t) \cos(2\pi n_f t) dt = \frac{2}{T} a_n \int_0^T$$

$$\cos(2\pi n_f t) \cos(2\pi n_f t) dt$$

$$2 \cos^2(\alpha) = 1 + \cos(2\alpha)$$

$$\begin{aligned} \frac{2}{T} \int_0^T f(t) \cos(2\pi n_f t) dt &= \frac{a_n}{T} \int_0^T 2 \cos^2(2\pi n_f t) dt \\ &= \frac{a_n}{T} \int_0^T (1 + \cos(4\pi n_f t)) dt \\ &= \frac{a_n}{T} [t + \sin(t)] \Big|_0^T \\ &= \frac{a_n}{T} [T - 0] = a_n \end{aligned}$$

$$\Rightarrow a_n = \frac{2}{T} \int_0^T f(t) \cos(2\pi n_f t) dt$$

* $b_n = ?$

$$\begin{aligned} \frac{2}{T} \int_0^T f(t) \sin(2\pi n_f t) dt &= \frac{2}{T} \int_0^T \frac{a_0}{2} \sin(t) dt \\ &+ \sum_{n=1}^{+\infty} \left[\frac{2}{T} \int_0^T a_n \cos(t) \sin(t) dt + \right. \\ &\quad \left. \frac{2}{T} \int_0^T b_n \sin(t) \sin(t) dt \right] \end{aligned}$$

$$\Rightarrow \frac{2}{T} \int_0^T f(t) \sin(t) dt = \frac{2 b_n}{T} \int_0^T \sin^2(t) dt$$

$$\{ 2 \sin^2(x) = 1 - \cos(2x)$$

$$\begin{aligned} \frac{2}{T} \int_0^T f(t) \sin(t) dt &= \frac{b_n}{T} \int_0^T (1 - \cos(4\pi n_f t)) dt \\ &= \frac{b_n}{T} [t - \sin(\frac{4\pi n_f t}{2})] \Big|_0^T \\ &= \frac{b_n}{T} [T - 0] = b_n \end{aligned}$$

$$\Rightarrow b_n = \frac{2}{T} \int_0^T f(t) \sin(2\pi n_f t) dt$$

fz. daham

fa forme exponentielle complexe:

$$f(t) = \frac{a_0}{2} + \sum_{n=1}^{+\infty} [a_n \cos(t) + b_n \sin(t)]$$

$$\begin{aligned} \cos(\alpha) &= \frac{e^{j\alpha} + e^{-j\alpha}}{2} \\ \sin(\alpha) &= \frac{e^{j\alpha} - e^{-j\alpha}}{2j} \end{aligned}$$

$$\begin{aligned} \Rightarrow f(t) &= \frac{a_0}{2} + \sum_{n=1}^{+\infty} \left[a_n \left(\frac{e^{j2\pi n_f t} + e^{-j2\pi n_f t}}{2} \right) \right. \\ &\quad \left. + b_n \left(\frac{e^{j2\pi n_f t} - e^{-j2\pi n_f t}}{2j} \right) \right] \\ &= \frac{a_0}{2} + \frac{1}{2} \sum_{n=1}^{+\infty} \left[a_n \underbrace{e^{j2\pi n_f t}}_{-j b_n e^{j2\pi n_f t}} + a_n \right. \\ &\quad \left. - j b_n \underbrace{e^{j2\pi n_f t}}_{+j b_n e^{-j2\pi n_f t}} + j b_n \underbrace{e^{-j2\pi n_f t}}_{(a_n + j b_n)} \right] \\ &= \frac{a_0}{2} + \frac{1}{2} \sum_{n=1}^{+\infty} \left[e^{j2\pi n_f t} (a_n - j b_n) \right. \\ &\quad \left. + e^{-j2\pi n_f t} (a_n + j b_n) \right] \end{aligned}$$

$$\left\{ \begin{array}{l} a_{-n} = a_n \text{ (pair)} \\ b_{-n} = -b_n \text{ (impair)} \end{array} \right. \quad -(-b_n) = +b_n$$

$$\begin{aligned} \Rightarrow f(t) &= \frac{a_0}{2} + \frac{1}{2} \sum_{n=1}^{+\infty} (a_n - j b_n) e^{j2\pi n_f t} \\ &\quad + \sum_{n=1}^{+\infty} (a_{-n} - j b_{-n}) \bar{e}^{j2\pi n_f t} \\ &= \frac{a_0}{2} + \left[\sum_{n=1}^{+\infty} C_n e^{j2\pi n_f t} \right. \\ &\quad \left. + \sum_{n=-1}^{-\infty} C_{-n} \bar{e}^{j2\pi n_f t} \right] \end{aligned}$$

$$f(t) = \sum_{n=-\infty}^{+\infty} C_n e^{j2\pi n_f t}$$

$$* C_0 = \frac{a_0}{2} = \frac{2}{T} \int_0^T f(t) dt$$

$$* C_n = \frac{a_n - j b_n}{2}$$

$$* C_{-n} = \frac{a_n + j b_n}{2} \quad \text{le module}$$

$$* C_n = |C_n| e^{j\varphi_n}; |C_n| = \sqrt{a_n^2 + b_n^2} \quad \text{la forme polaire}$$

$$* \varphi_n = \arctg \left(-\frac{b_n}{a_n} \right)$$

* Spectre d'amplitude: (pair)

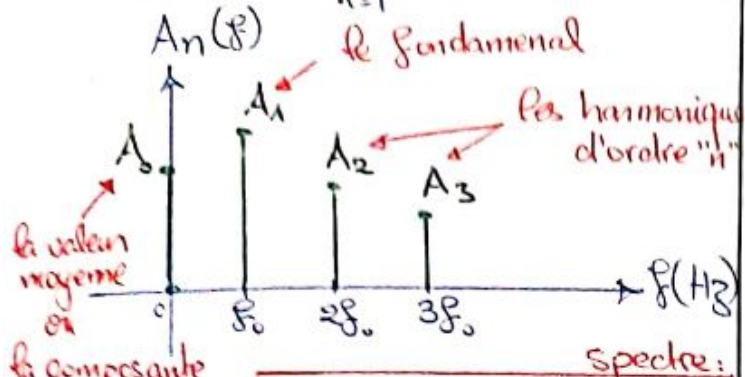
① Unilatéral: (la forme en harmonique)

$$f(t) = A_0 + \sum_{n=1}^{\infty} A_n \cos(2\pi n f_0 t + \varphi_n)$$

$A_n(f)$

le fondamental

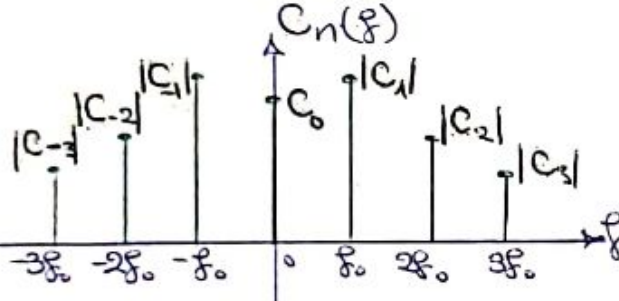
les harmoniques
d'ordre "n"



$$F(f) = \sum_{n=-\infty}^{+\infty} C_n \delta(f - n f_0)$$

② Bilatéral: (la forme complexe)

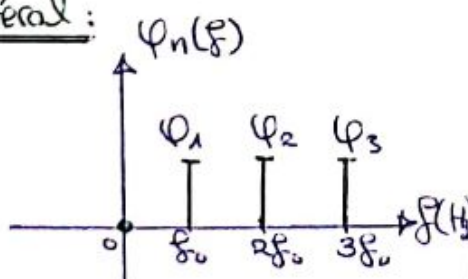
$$f(t) = \sum_{n=-\infty}^{+\infty} C_n e^{j2\pi n f_0 t}$$



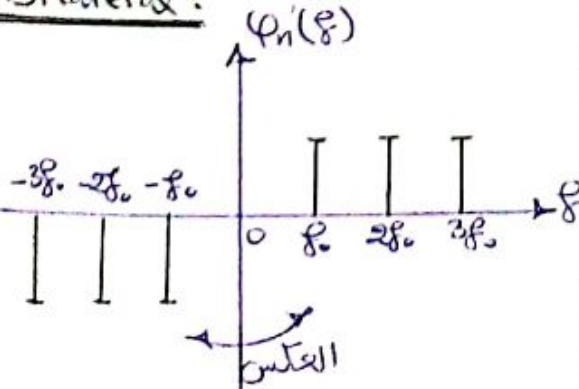
sinus

* Spectre de Phase: (impair)

① Unilatéral: $\varphi_n(f)$



② Bilatéral:



* Résumé

⇒ Conditions d'existence de la SF:

⇒ Conditions de Dirichlet:

- * $f(t)$ est une fonction intégrable (carré sommable):

$$[\text{à Energie finie}] \Leftrightarrow \int_{-\infty}^{+\infty} |f(t)| dt < \infty$$

- * $f(t)$ soit borné: $a \leq f(t) \leq b$

- * $f(t)$ possède un nombre fini de discontinuités dans l'intervalle T_0

- * $f(t)$ possède un nombre fini d'extrema dans l'intervalle T_0 .

* La série de Fourier en cosinus: (harmonique)

$$f(t) = A_0 + \sum_{n=1}^{+\infty} A_n \cos(2\pi n f_0 t + \varphi_n)$$

$$* A_n = \sqrt{a_n^2 + b_n^2}$$

$$* \varphi_n = \arctg(-b_n/a_n), \quad A_0 = \frac{a_0}{2}$$

* La forme trigonométrique réelle de la SF:

$$f(t) = \frac{a_0}{2} + \sum_{n=1}^{+\infty} [a_n \cos(\cdot) + b_n \sin(\cdot)]$$

$$* a_0 = \frac{2}{T_0} \int_0^{T_0} f(t) dt$$

$$* a_n = \frac{2}{T_0} \int_0^{T_0} f(t) \cos(2\pi n f_0 t) dt$$

$$* b_n = \frac{2}{T_0} \int_0^{T_0} f(t) \sin(2\pi n f_0 t) dt$$

* La forme exponentielle complexe de la SF:

$$f(t) = \sum_{n=-\infty}^{+\infty} C_n e^{j2\pi n f_0 t}$$

$$* C_0 = \frac{a_0}{2} = \frac{2}{T_0} \int_0^{T_0} f(t) dt$$

$$* C_n = \frac{1}{T_0} \int_0^{T_0} f(t) e^{-j2\pi n f_0 t} dt$$

$$* C_n = \frac{a_n - j b_n}{2}$$

$$* |C_n| = \frac{1}{2} \sqrt{a_n^2 + b_n^2}$$

$$* (\varphi_n = \arctg(-b_n/a_n)) \quad fz. daham$$

* l'Energie :

- $\Rightarrow x^2(t)$ correspond à la distribution de l'énergie en fonction du temps.
- \Rightarrow les signaux à Energie finie et P_{moy} nulle sont physiquement réalisables.

$$E = \int_{-\infty}^{+\infty} |x(t)|^2 dt < \infty$$

\rightarrow si l'énergie est finie sur l'intervalle $[-\infty, +\infty]$, on dit que le signal $x(t)$ est à énergie finie.

* Densité d'énergie temporelle :

$$e_{\text{d}t} = e_x(t) = |x(t)|^2$$

* la Puissance moyenne :

$\Rightarrow P_{\text{moy}}$ est la distribution moyenne de l'énergie sur l'intervalle T choisi (les signaux périodiques).

\Rightarrow sont des signaux physiquement irréalisables

$$P_{\text{moy}} = \lim_{T \rightarrow \infty} \frac{1}{T} \int_0^T |x(t)|^2 dt < \infty$$

\Rightarrow si la puissance moy. est finie, on dit que $x(t)$ est à puissance moy. finie.

* la puissance moy. pour un signal périodique :

$$P_{\text{moy}} = \frac{1}{T} \int_0^T |x(t)|^2 dt < \infty$$

* Densité spectrale de P : $DSP = \lim_{T \rightarrow \infty} \frac{1}{T} X(f)^2$

* la valeur efficace :

$$x_{\text{eff}} = \sqrt{\langle P \rangle} = \sqrt{P_{\text{moy}}}$$

fz. daham

* Égalité de Parseval : (Théorème)

$$P_{\text{moy}} = \frac{1}{T_0} \int_0^{T_0} |x(t)|^2 dt \stackrel{?}{=} \sum_{n=-\infty}^{+\infty} |C_n|^2$$

On a la forme réelle trigonométrique :

$$x(t) = \frac{a_0}{2} + \sum_{n=1}^{+\infty} [a_n \cos(\omega t) + b_n \sin(\omega t)]$$

$$\Rightarrow x(t) \cdot x(t) = \frac{a_0}{2} \times x(t) + \sum_{n=1}^{+\infty} [a_n \times x(t) \cdot \cos(\omega t) + b_n \times x(t) \cdot \sin(\omega t)]$$

$$\frac{1}{T_0} \int_0^{T_0} x(t) \cdot x(t) dt = \frac{1}{T_0} \int_0^{T_0} dt$$

$$\Rightarrow \frac{1}{T_0} \int_0^{T_0} x^2(t) dt = \frac{a_0}{2} \cdot \frac{1}{T_0} \int_0^{T_0} x(t) dt + \sum_{n=1}^{+\infty} [a_n \cdot \frac{1}{T_0} \int_0^{T_0} x(t) \cos(\omega t) dt + b_n \cdot \frac{1}{T_0} \int_0^{T_0} x(t) \sin(\omega t) dt]$$

$$\frac{1}{T_0} \int_0^{T_0} x^2(t) dt = \frac{a_0^2}{2} + \sum_{n=1}^{+\infty} [a_n \cdot \frac{2}{2} \cdot \frac{1}{T_0} \int_0^{T_0} x(t) \cos(\omega t) dt + b_n \cdot \frac{2}{2} \cdot \frac{1}{T_0} \int_0^{T_0} x(t) \sin(\omega t) dt]$$

$$\Rightarrow \frac{1}{T_0} \int_0^{T_0} x^2(t) dt = \frac{a_0^2}{2} + \sum_{n=1}^{+\infty} [a_n^2 + b_n^2]$$

$$\frac{1}{T_0} \int_0^{T_0} x^2(t) dt = \frac{a_0^2}{2} + \frac{1}{2} \sum_{n=1}^{+\infty} [a_n^2 + b_n^2]$$

$$P_{\text{moy}} = \frac{1}{T_0} \int_0^{T_0} |x(t)|^2 dt = \sum_{n=-\infty}^{+\infty} |C_n|^2$$

$$C_n = \frac{1}{2} (a_n + j b_n)$$

$$|C_n| = \frac{1}{2} \sqrt{a_n^2 + b_n^2}$$

$$|C_n|^2 = \frac{1}{2} (a_n^2 + b_n^2)$$

le passage de la SF à la TF :

la forme complexe de la SF:

$$x(t) = \sum_{n=-\infty}^{+\infty} C_n e^{j 2\pi n f t}$$

$$C_n = \frac{1}{T_0} \int_0^{T_0} x(t) e^{-j 2\pi n f t} dt$$

$$\Rightarrow x(t) = \sum_{n=-\infty}^{+\infty} \left[\frac{1}{T_0} \int_0^{T_0} x(t) e^{-j 2\pi n f t} dt \right] e^{j 2\pi n f t}$$

$$\begin{cases} \text{Si } T_0 \rightarrow \infty ; n T_0 = T \rightarrow \infty \\ \text{donc } f_0 \rightarrow df ; n f_0 = f \rightarrow df ; f = \frac{1}{T} \end{cases}$$

$$\text{TF}^{-1} = x(t)$$

$$\Rightarrow x(t) = \sum_{-\infty}^{+\infty} \left[\sum_{-\infty}^{+\infty} x(t) e^{-j 2\pi n f t} dt \right] e^{j 2\pi f t} df$$

$$X(f) = \sum_{n=-\infty}^{+\infty} x(t) e^{-j 2\pi n f t} dt$$

$$x(t) = \sum_{-\infty}^{+\infty} X(f) e^{j 2\pi f t} df$$

→ Analyse des signaux non périodiques :

* Transformée de Fourier :

$$X(f) = \text{TF}[x(t)] = \int_{-\infty}^{+\infty} x(t) e^{-j2\pi f t} dt$$

* Transformée de Fourier inverse :

$$x(t) = \text{TF}^{-1}[X(f)] = \int_{-\infty}^{+\infty} X(f) e^{j2\pi f t} dt$$

* Spectre d'amplitude :

Ce spectre est complexe, a partie réel et partie imaginaire :

$$\text{Re}[X(f)] = \int_{-\infty}^{+\infty} x(t) \cos(2\pi f t) dt$$

$$\text{Im}[X(f)] = \int_{-\infty}^{+\infty} x(t) \sin(2\pi f t) dt$$

⇒ spectre d'amplitude :

$$|X(f)| = \sqrt{\text{Re}[X(f)]^2 + \text{Im}[X(f)]^2}$$

* Spectre de phase :

$$\varphi(f) = \arctg \left(-\frac{\text{Im}[X(f)]}{\text{Re}[X(f)]} \right)$$

* Condition d'existence de la transformée de Fourier :

Afin qu'un signal $x(t)$ ait une transformée de Fourier, il faut et il suffit qu'il vérifie les "Conditions de Dirichlet":

* $x(t)$ soit une fonction bornée :

$$a \leq x(t) \leq b$$

* $x(t)$ soit une fonction "sommable" ou "carré sommable" ou "intégrable" :

TF existe et réciproque

$$\int_{-\infty}^{+\infty} |x(t)| dt < \infty$$

(équale une valeur finie)

→ cela signifie que $x(t)$ et $X(f)$ sont à Energie finie.

→ tous les signaux physiques vérifient ces conditions.

[ذات محدودة في المدى]

sur temps fini

* $x(t)$ possède un nombre fini d'extrema (de minima et de maxima).

* $x(t)$ possède un nombre fini de discontinuités.

* Propriétés de la TF :

* Linéarité :

$$a u(t) + b v(t) \xrightarrow{\text{TF}} a X(f) + b Y(f)$$

* Homothétie (temps échelle) :

$$a(at) \xrightarrow{\text{TF}} \frac{1}{|a|} X\left(\frac{f}{a}\right)$$

↓
dilatation du temps

↓
compression des fréquences

[changement d'échelle ou dilatation du temps]

⇒ fréquence échelle (changement d'échelle en dilatation fréquentielle) :

$$X(af) \xrightarrow{\text{TF}^{-1}} \frac{1}{|a|} u\left(\frac{t}{a}\right)$$

* Translation :

⇒ dans le temps :

$$x(t-t_0) \xrightarrow{\text{TF}} e^{-j2\pi f t_0} X(f)$$

↓
translation

↓
déphasage

⇒ dans la fréquence :

$$X(f-f_0) \xrightarrow{\text{TF}^{-1}} e^{j2\pi f_0 t} x(t)$$

↓
translation

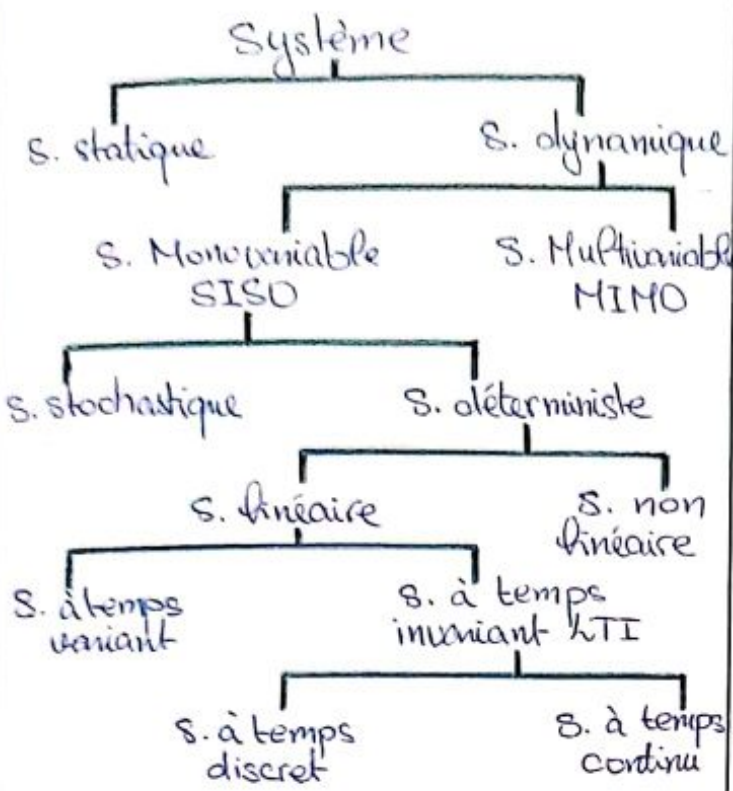
↓
modulation

* Inversion du temps :

$$x(-t) \xrightarrow{\text{TF}} X(-f)$$

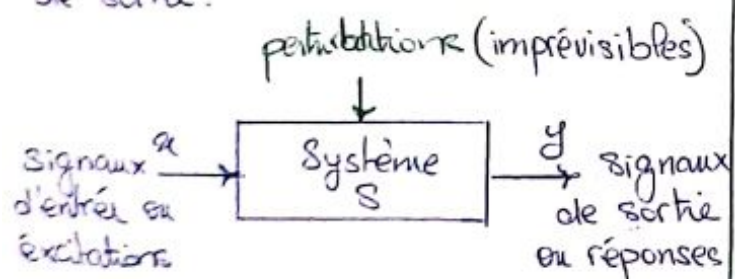
fz. daham

* Classification des Systèmes :



* Définition :

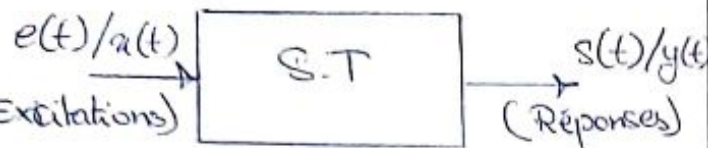
Un système est un ensemble d'éléments fonctionnels interagissant entre eux et qui établit un lien de cause à effet entre ses signaux d'entrée et ses signaux de sortie.



- * s. statique: la réponse du système à une excitation est instantanée.
- * s. dynamique: la réponse est fonction de l'excitation et des réponses passées.
- * s. monovariable: système à une entrée et une sortie.
- * s. multivariable: plusieurs d'entrée et sortie.

* Systèmes de transmission *

LIT en filtres



- * Un système de transmission LIT en filtre est un instrument ou un modèle physique associant (linéairement) un signal d'entrée à un signal de sortie, représenté par un modèle mathématique qui apporte une déformation au signal.
- * Exemple de S.T : instrument de mesure, capteur, système optique, amplificateur, -- etc.
→ $s(t) = S[e(t)]$
- * Propriétés des S.T (LIT) :

①. Linéarité :

Un système est dit "linéaire" si justifie du principe de "superposition" :

$$\sum_i \alpha_i x_i(t) \xrightarrow{\text{S.T}} \sum_i \alpha_i y_i(t)$$

* homogénéité :

une variation dans l'amplitude du signal d'entrée "produit" une "même" variation du signal de la sortie :

$$\begin{aligned} x(t) &\xrightarrow{\text{S.T}} y(t) \\ \alpha x(t) &\xrightarrow{\text{S.T}} \alpha y(t) \end{aligned}$$

* additivité :

si on applique 2 signaux à l'entrée, la sortie est : la somme individuelle de leur réponse :

$$\begin{aligned} x_1(t) &\xrightarrow{\text{S.T}} y_1(t) \\ x_1(t) + x_2(t) &\xrightarrow{\text{S.T}} y_1(t) + y_2(t) \end{aligned}$$

la superposition

②. Invariance dans le temps :

Un système est dit "invariant dans le t" si son comportement est indépendant de l'origine des temps choisie.
→ "invariant dans le temps" = "stationnaire"

$$x(t - t_0) \xrightarrow{\text{S.T}} y(t - t_0)$$

→ la même translation du signal à l'entrée et à la sortie.

③. Causalité : il faut le système LTI

$$\left\{ \begin{array}{l} h(t) = 0 ; \quad t < 0 \\ h(t - t_0) = 0 ; \quad t < t_0 \end{array} \right.$$

④. Stabilité : il faut le système LTI

* Un système est mathématiquement stable si à une entrée bornée qui correspond une sortie bornée. (Cela implique que tous les pôles de la fonction de transfert sont à parties réelles et négatives).

* Un système est physiquement stable si l'amplitude à revenir à sa position d'équilibre après une perturbation. $\int_{-\infty}^{+\infty} h(t) dt < \infty$

⑤. Continuité :

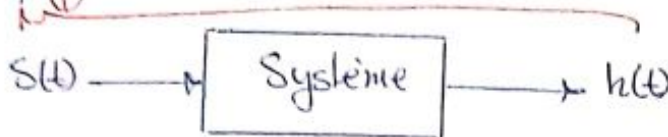
$$\lim_{n \rightarrow +\infty} e_n(t) \xrightarrow{\text{S.T}} \lim_{n \rightarrow +\infty} s_n(t)$$

⑥. Réponse Impulsionnelle :

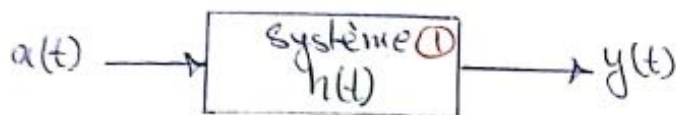
Une impulsion de Dirac $\delta(t)$, injectée à l'entrée d'un système : causal, continu, linéaire et invariant dans le t, donne en sortie : un signal de durée finie appelée "réponse impulsionnelle", noté $h(t)$.

* Produit de Convolution :

soit un système, ayant pour entrée une impulsion de Dirac $\delta(t)$ et de sortie la réponse impulsionnelle $h(t)$.



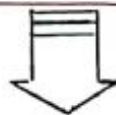
\Rightarrow Un système LTI est modélisé par sa réponse impulsionnelle :



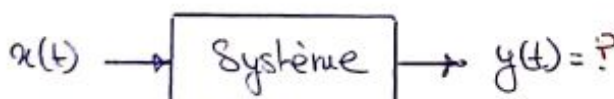
la réponse $y(t)$ est une superposition de réponse impulsionnelle amplifiée par les valeurs de $u(t)$ \Rightarrow cette opération appelé :

\Rightarrow la convolution, noté par : (*)

$$y(t) = u(t) * h(t) = \int_{-\infty}^{+\infty} u(\tau) h(t - \tau) d\tau$$



\Rightarrow Réponse d'un s. LTI à une entrée quelconque :



$$y(t) = S[u(t)] = ?$$

\Rightarrow élément neutre de convolution :

$$u(t) = u(t) * \delta(t) = \int_{-\infty}^{+\infty} u(\tau) \delta(t - \tau) d\tau$$

$$\Rightarrow y(t) = S[u(t)] = S \left[\int_{-\infty}^{+\infty} u(\tau) \delta(t - \tau) d\tau \right]$$

\Rightarrow propriété de linéarité du système :

$$y(t) = \int_{-\infty}^{+\infty} u(\tau) S[\delta(t - \tau)] d\tau$$

\Rightarrow propriété d'invariance temporelle :

$$S[\delta(t - \tau)] = h(t - \tau)$$

$$\Rightarrow y(t) = \int_{-\infty}^{+\infty} u(\tau) h(t - \tau) d\tau$$

$$y(t) = u(t) * h(t)$$

* Propriétés :

* Commutativité : $u_1(t) * u_2(t) = u_2(t) * u_1(t)$

* Associativité :

$$[u_1(t) * u_2(t)] * u_3(t) = u_1(t) * [u_2(t) * u_3(t)]$$

* Distributivité p/r à l'addition :

$$u_1(t) * [u_2(t) + u_3(t)] = u_1(t) * u_2(t) + u_1(t) * u_3(t)$$

* Elément neutre (impulsion de Dirac) :

$$u(t) = u(t) * \delta(t)$$

* Translation temporelle :

$$u(t) * \delta(t - t_0) = u(t - t_0)$$

Systèmes et TF:

Soit un système de réponse impulsionnelle à signal d'entrée : $x(t) = A e^{j2\pi f t}$

$$\Rightarrow y(t) = ?$$

$$\begin{aligned} \Rightarrow y(t) &= S \left[x(t) \right] = x(t) * h(t) \\ &= \sum_{-\infty}^{+\infty} x(\tau) h(t-\tau) d\tau \\ &= \sum_{-\infty}^{+\infty} h(\tau) x(t-\tau) d\tau \\ &= \sum_{-\infty}^{+\infty} h(\tau) \cdot A e^{j2\pi f(t-\tau)} d\tau \\ &= \sum_{-\infty}^{+\infty} h(\tau) \cdot A e^{j2\pi f t - j2\pi f \tau} d\tau \\ &= A e^{j2\pi f t} \underbrace{\sum_{-\infty}^{+\infty} h(\tau) e^{-j2\pi f \tau}}_{TF[h(\tau)] = H(f)} d\tau \end{aligned}$$

$$\Rightarrow S[A e^{j2\pi f t}] = H(f) \cdot A e^{j2\pi f t}$$

Du signal d'entrée à la TF:

Si le signal d'entrée est quelconque, on peut l'exprimer sous la forme de la TF inverse :

$$x(t) = \sum_{-\infty}^{+\infty} X(f) e^{j2\pi f t} dt$$

$$\Rightarrow y(t) = ?$$

$$\begin{aligned} \Rightarrow y(t) &= S[x(t)] = S \left[\sum_{-\infty}^{+\infty} X(f) e^{j2\pi f t} df \right] \\ &= \sum_{-\infty}^{+\infty} S[X(f) \cdot e^{j2\pi f t}] df \\ &\xrightarrow{\text{linéarité}} = \sum_{-\infty}^{+\infty} X(f) \cdot e^{j2\pi f t} * h(t) df \\ &= \sum_{-\infty}^{+\infty} \sum_{-\infty}^{+\infty} h(\tau) X(f) e^{j2\pi f(t-\tau)} df \end{aligned}$$

$$= \sum_{-\infty}^{+\infty} \sum_{-\infty}^{+\infty} h(\tau) \cdot X(f) e^{j2\pi f t - j2\pi f \tau} df$$

$$= \sum_{-\infty}^{+\infty} X(f) e^{j2\pi f t} \left[\sum_{-\infty}^{+\infty} h(\tau) e^{-j2\pi f \tau} \right] df$$

$$= \sum_{-\infty}^{+\infty} X(f) \cdot H(f) \cdot e^{j2\pi f t} df$$

$$y(t) = \sum_{-\infty}^{+\infty} Y(f) \cdot e^{j2\pi f t} dt \xrightarrow{\text{TF}^{-1}}$$

* théorème de Plancherel:

$$\textcircled{1} \quad x(t) * y(t) \xleftrightarrow{\text{TF}} X(f) \cdot Y(f)$$

$$\textcircled{2} \quad x(t) \cdot y(t) \xleftrightarrow{\text{TF}} X(f) * Y(f)$$

* Démonstration:

$$\begin{aligned} \text{TF}[x(t) * y(t)] &= \text{TF} \left[\sum_{-\infty}^{+\infty} x(\tau) y(t-\tau) d\tau \right] \\ &= \sum_{-\infty}^{+\infty} \sum_{-\infty}^{+\infty} x(\tau) y(t-\tau) d\tau e^{-j2\pi f t} dt \\ &\quad \times \frac{e^{-j2\pi f \tau}}{e^{-j2\pi f t}} \\ &= \sum_{-\infty}^{+\infty} \sum_{-\infty}^{+\infty} x(\tau) y(t-\tau) d\tau e^{-j2\pi f t} \cdot e^{-j2\pi f \tau} \cdot dt \\ &= \underbrace{\sum_{-\infty}^{+\infty} x(\tau)}_{H(f)} \cdot \underbrace{\sum_{-\infty}^{+\infty} y(t-\tau)}_{e^{-j2\pi f (t-\tau)}} dt \end{aligned}$$

$$= X(f) \cdot Y(f)$$

$$\Rightarrow x(t) * y(t) \xleftrightarrow{\text{TF}} X(f) \cdot Y(f)$$

$$\text{TF}^{-1}[X(f) * Y(f)] = \sum_{-\infty}^{+\infty} \sum_{-\infty}^{+\infty} X(\tau) Y(f-\tau) df \cdot e^{j2\pi f t}$$

$$= \underbrace{\sum_{-\infty}^{+\infty} X(\tau)}_{e^{j2\pi f \tau}} \cdot \underbrace{\sum_{-\infty}^{+\infty} Y(f-\tau)}_{e^{-j2\pi f (f-\tau)}} df$$

$$= x(t) \cdot y(t)$$

$$\Rightarrow X(f) * Y(f) \xleftrightarrow{\text{TF}^{-1}} x(t) \cdot y(t)$$

fz. daham

* Corrélation:

→ La relation entre la corrélation et la convolution :

$$C_{xy}(\Sigma) = x(t) * y^*(\Sigma)$$

* Autocorrélation:

définie la similitude entre le signal et sa copie retardée.

→ pour un signal à Energie finie :

$$C_{xx}(\Sigma) = \int_{-\infty}^{+\infty} x(t) x^*(t+\Sigma) dt$$

→ pour un signal à puissance moyen-finie (un signal périodique) :

$$C_{xx}(\Sigma) = \lim_{T \rightarrow \infty} \frac{1}{T} \int_0^T x(t) x^*(t+\Sigma) dt$$

* Intercorrélation:

définie la dépendance entre les événements de chacun, et la mesure de similitude entre eux.

→ pour deux signaux à Energie finie :

$$C_{xy}(\Sigma) = \int_{-\infty}^{+\infty} x(t) y^*(t+\Sigma) dt$$

→ pour deux signaux à Puissance moyen-finie (deux signaux périodiques) :

$$C_{xy}(\Sigma) = \lim_{T \rightarrow \infty} \frac{1}{T} \int_0^T x(t) y^*(t+\Sigma) dt$$

* L'inégalité de Cauchy-Schwarz:

$$|C_{xy}(\Sigma)|^2 \leq C_{xx}(0) C_{yy}(0)$$

$$|C_{xx}(\Sigma)| \leq C_{xx}(0)$$

→ l'autocorrélation est maximale et bornée

fz. daham

$$\Rightarrow C_{xx}(0) = \int_{-\infty}^{+\infty} x(t) x^*(t+0) dt \\ = \int_{-\infty}^{+\infty} x(t) x^*(t) dt \\ = \int_{-\infty}^{+\infty} |x(t)|^2 dt$$

$$C_{yy}(0) = E_y \quad (\text{l'Energie})$$

$$C_{yy}(0) = \int_{-\infty}^{+\infty} y(t) y^*(t+0) dt \\ = \int_{-\infty}^{+\infty} y(t) y^*(t) dt \\ = \int_{-\infty}^{+\infty} |y(t)|^2 dt$$

$$C_{yy}(0) = E_y$$

$$\Rightarrow C_{xx}(0) = \lim_{T \rightarrow \infty} \frac{1}{T} \int_0^T x(t) x^*(t+0) dt \\ = \lim_{T \rightarrow \infty} \frac{1}{T} \int_0^T x(t) x^*(t) dt \\ = \lim_{T \rightarrow \infty} \frac{1}{T} \int_0^T |x(t)|^2 dt$$

$$C_{yy}(0) = P_{moy}(x^2)$$

$$C_{yy}(0) = P_{moy}(y^2)$$

→ $C_{yy}(0)$ et $C_{xx}(0) = \text{l'Energie}$ pour les signaux à énergie finie.

→ $C_{xy}(0)$ et $C_{xx}(0) = \text{la Puissance moyenne pour les signaux à } P_{moy} \text{ finie } \Leftrightarrow \text{les signaux périodiques.}$

* Propriétés:

$$* x^*(-t) = x(t)$$

$$* x^*(t) = x(-t)$$

$$\Rightarrow C_{xy}^*(-\Sigma) = C_{xy}(\Sigma)$$

$$\Rightarrow C_{xy}^*(\Sigma) = C_{xy}(-\Sigma)$$

$$* C_{xy}(\Sigma) = C_{yx}(-\Sigma)$$

$$* C_{xx}(\Sigma) = C_{xx}(-\Sigma)$$

* Densité Spectrale d'Energie :

→ est la TF d'autocorrélation :

$$\begin{aligned} DSE_{uu}(f) &= S_{uu}(f) = \text{TF}[C_{uu}(z)] \\ &= \sum_{-\infty}^{+\infty} C_{uu}(z) e^{-j2\pi fz} dz \\ &= \iint u(t) u^*(t+z) dt e^{-j2\pi fz} dz \\ &\quad \times e^{-j2\pi ft} e^{j2\pi fz} \\ &= \underbrace{\sum_{-\infty}^{+\infty} u(t) e^{-j2\pi ft} dt}_{\boxed{[e^{-j2\pi f(t+z)}]}} \underbrace{\sum_{-\infty}^{+\infty} u^*(t+z) dz}_{\boxed{[e^{-j2\pi f(t+z)}]}} \end{aligned}$$

$$S_{uu}(f) = X(f) \cdot X^*(f) = |X(f)|^2$$

* Densité inter-spectrale d'Energie :

→ est la TF d'intercorrélation des signaux à Energie finie :

$$\begin{aligned} DSE_{xy}(f) &= S_{xy}(f) = \text{TF}[C_{xy}(z)] \\ &= \sum_{-\infty}^{+\infty} C_{xy}(z) e^{-j2\pi fz} dz \\ &= \iint u(t) y^*(t+z) e^{-j2\pi fz} dt dz \\ &\quad \times e^{-j2\pi ft} e^{j2\pi fz} \\ &= \underbrace{\sum_{-\infty}^{+\infty} u(t) e^{-j2\pi ft} dt}_{\boxed{[e^{-j2\pi f(t+z)}]}} \underbrace{\sum_{-\infty}^{+\infty} y^*(t+z) dz}_{\boxed{[e^{-j2\pi f(t+z)}]}} \end{aligned}$$

$$S_{xy}(f) = X(f) Y^*(f)$$

* Densité spectrale de Puissance :

→ est la TF d'autocorrélation d'un signal à Puissance moyenne finie :

$$\begin{aligned} DSP_{uu}(f) &= S_{uu}(f) = \text{TF}[C_{uu}(z)] \\ &= \sum_{-\infty}^{+\infty} C_{uu}(z) e^{-j2\pi fz} dz \\ &= \sum_{-\infty}^{+\infty} \lim_{T \rightarrow \infty} \frac{1}{T} \sum_{-\infty}^{+\infty} u(t) u^*(t+z) dt e^{-j2\pi fz} dz \\ &\quad \times e^{-j2\pi ft} e^{j2\pi fz} \\ &= \lim_{T \rightarrow \infty} \frac{1}{T} \sum_{-\infty}^{+\infty} u(t) e^{-j2\pi ft} dt \end{aligned}$$

$$\times \sum_{-\infty}^{+\infty} u^*(t+z) \left[e^{-j2\pi f(t+z)} \right] dt$$

$$\Rightarrow S_{uu}(f) = \lim_{T \rightarrow \infty} \frac{1}{T} |X(f)|^2$$

$$\begin{aligned} * P_{xy}(\text{moy}) &= \sum_{-\infty}^{+\infty} S_{xy}(f) df \\ &= \lim_{T \rightarrow \infty} \frac{1}{T} \sum_{-\infty}^{+\infty} |X(f)|^2 df \end{aligned}$$

* Densité inter-spectrale de Puissance :

→ est la TF d'intercorrélation des signaux périodiques à puissance moy. finie:

$$\begin{aligned} DSP_{xy}(f) &= S_{xy}(f) = \text{TF}[C_{xy}(z)] \\ &= \sum_{-\infty}^{+\infty} C_{xy}(z) e^{-j2\pi fz} dz \\ &= \iint u(t) y^*(t+z) e^{-j2\pi fz} dt dz \\ &\quad \times e^{j2\pi ft} e^{-j2\pi fz} \\ &= \underbrace{\sum_{-\infty}^{+\infty} u(t) e^{-j2\pi ft} dt}_{\boxed{[e^{-j2\pi f(t+z)}]}} \underbrace{\sum_{-\infty}^{+\infty} y^*(t+z) dz}_{\boxed{[e^{-j2\pi f(t+z)}]}} \end{aligned}$$

$$S_{xy}(f) = X(f) Y^*(f)$$

* Filtrage Analogique *

→ un filtre est un circuit permettant de sélectionner une "bande de fréquence", qu'il laissera passer ou éliminera.

appelé :
"la bande passante"
(BP)
ou "largeur de bande"
(LB)

appelé :
"la fréquence de coupure"
(fc)

les filtres Analog. se divisent en 2 :

→ Types des filtres :

* Filtre passif: est une combinaison de résistance (R), de condensateur (C) et/ou bobine (L).

* Filtre actif: est composé d'élément amplificateur (transistor, OP-Amp ...) et d'élément dépendant de la fréquence (C, L, ...).
amplification de puissance
les éléments actifs.

→ Si on a un signal périodique, on peut l'écrire par une forme de somme sinusoidale, donc on a :

$$u(t) = a_0 + \sum_{n=1}^{\infty} [a_n \cos(\omega t) + b_n \sin(\omega t)]$$

$$\Rightarrow n=1 \rightarrow u_1(t) = a_1 \cos(\omega t) + b_1 \sin(\omega t)$$

$$n=2 \rightarrow u_2(t) = a_2 \cos(2\omega t) + b_2 \sin(2\omega t)$$

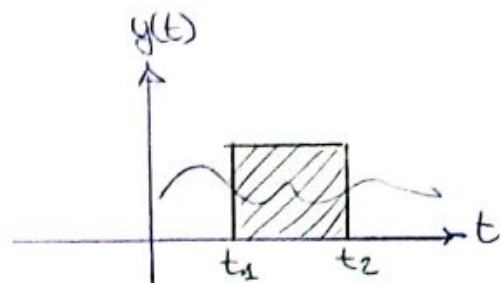
:

les harmoniques

→ Filtrer un signal revient à choisir parmi ses harmoniques ceux qu'on désire transmettre et éliminer les autres.]

* Filtrage temporel:

→ atténuation ou interruption du signal au cours du temps.

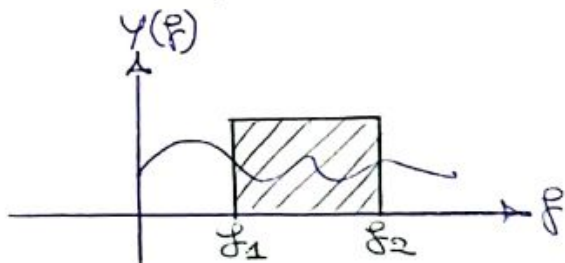


* $y(t) = u(t) \cdot h(t)$ → multiplication temporelle

* $Y(f) = X(f) * H(f)$ → convolution fréquentielle

* Filtrage fréquentielle:

→ sélection ou atténuation de certaines fréquences.



* $y(t) = u(t) * h(t)$ → convolution temporelle

* $Y(f) = X(f) \cdot H(f)$ → multiplication fréquentielle

→ le filtrage est une forme de TS.

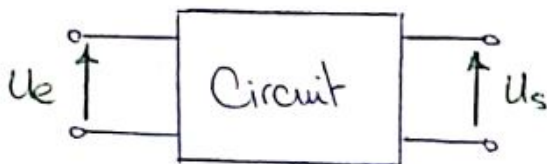
→ il peut s'agir soit :

- * éliminer ou affaiblir des fréquences parasites indésirables.
- * isoler dans un signal complexe la ou les bandes de fréquences utiles.

→ Applications:

- * systèmes de télécommunications.
- * sys. d'aquisition de TS physiques.
- * alimentation électrique

* Schéma générale du Filtre :



→ Le filtre en général est un quadripôle.

→ U_s , U_e : sont des fonctions sinusoïdales en fonction du temps:

$$U_e(t) = U_{emax} \sin(\omega t + \varphi_e)$$

$$U_s(t) = U_{smax} \sin(\omega t + \varphi_s)$$

Filtre



Analogique

- Passif:
- L, R, C
- utilisé pour les hautes fréq.
- pas d'alimentation.
- non intégrable

Numérique

Actif:

- R, C, AIL
- facile à concevoir
- moins coûteux
- limités en fréq. ($< 1 \text{ MHz}$ à cause de AIL).
- besoin d'alimentation.
- tension filtrée faible ($< 12 \text{ V}$).

* fonction de transfert:

$$H = G = \frac{V_s}{V_e}$$

* le Gain (le module):

$$|H| = |G| = \left| \frac{V_s}{V_e} \right|$$

fz. daham

* le Gain en décibel:

$$H_{dB} = 20 \log (1 H)$$

* la phase:

$$\varphi = \arg(H)$$

* l'Atténuation:

$$A = \frac{1}{H} = \frac{V_s}{V_e}$$

* Classification des filtres par fonction:

- filtre passe bas
- filtre passe haut
- filtre passe bande
- filtre coupe bande

* Classification par caractéristiques:

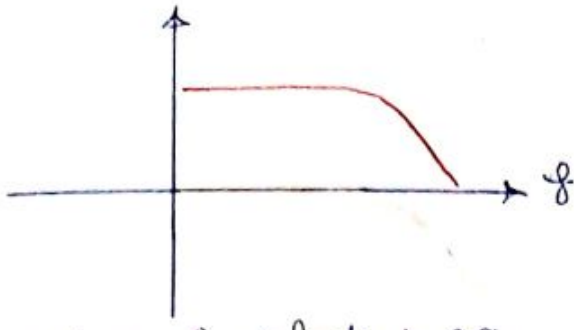
- filtre idéal.
- filtre réel (réalisable)

* filtre idéale: présente:

- un affaiblissement ~~dans~~ ^{nul} _{infini} dans la bande passante.
 - un affaiblissement ~~Y~~ ^{infini} dans la bande atténuée (la bande coupée).
 - le déphasage est ^{Gabarit} ~~nul~~ ^{Qaliq}. (pas de retard)
-
- Coupure nette

* filtre réel:

- la bande que l'on désire éliminer ne disparaît jamais, elle est seulement atténuée.
- le déphasage non nul, car le passage d'un signal dans filtre provoque forcément un retard sur ce signal.



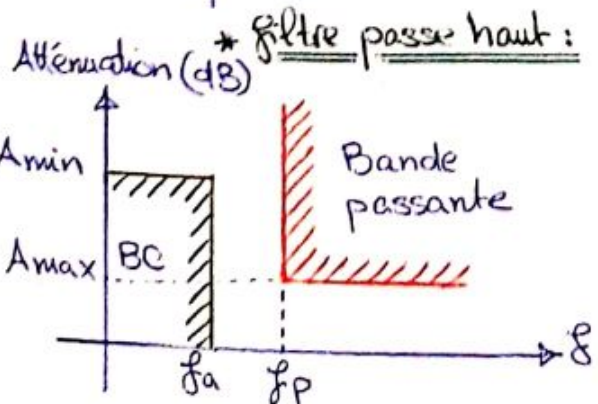
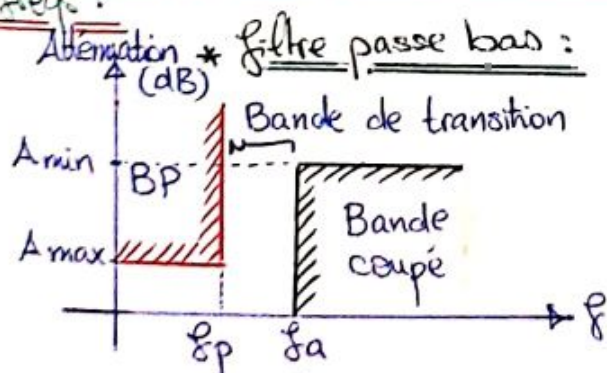
→ En pratique, la réalisation du filtre idéal est impossible, pour approcher à cette réponse idéale on définit un gabarit et en précisant :

- * A_{max} : atténuation maximum tolérée en bande passante.
- * A_{min} : atténuation minimum en bande coupée.
- * f_p : fréquence de coupure.
- * f_a : fréquence de frontière.

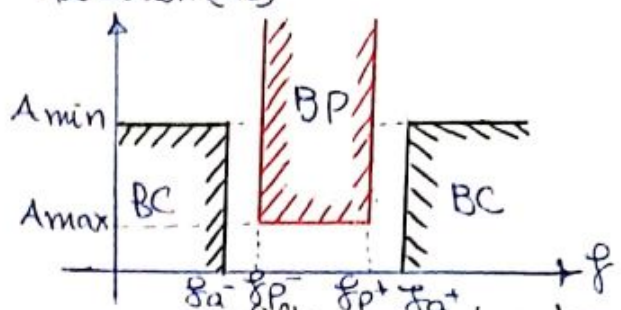
et en conservant l'atténuation A :

- ⇒ inférieure à A_{max} (b. passante)
- ⇒ supérieure à A_{min} (b. atténué).

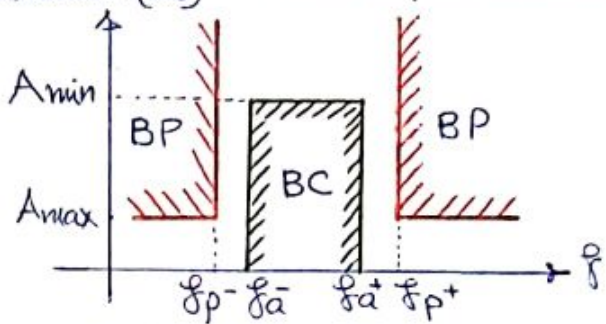
* Gabarit du filtre par l'atténuation des fréq.:



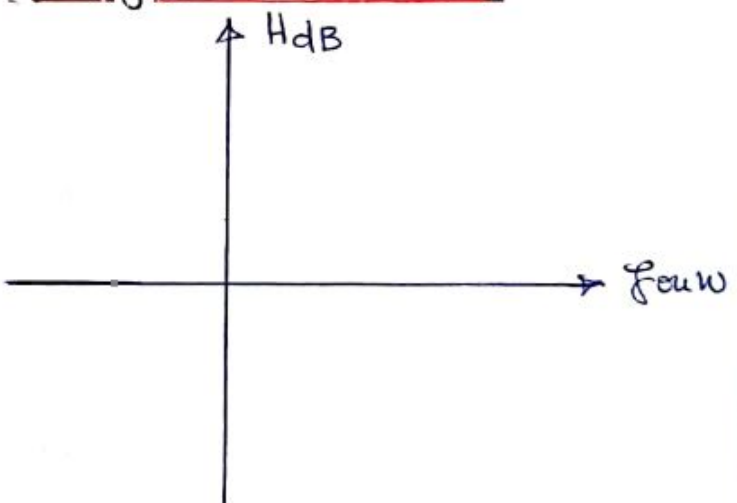
* filtre passe bande :



* filtre coupé bande :



* Diagramme de Bode :



D'échelle : des fréquences ou des pulsations est en décade ou octave :

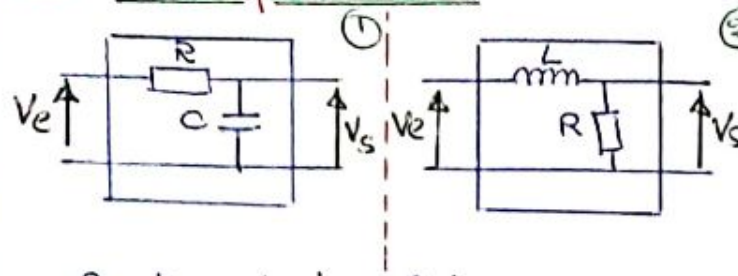
* octave : intervalle de fréq. Δf entre une fréq. et la double ou la moitié de cette fréq.

* décade : intervalle de fréq. Δf entre une fréq. et une autre fréq. qui est dix fois plus grande ou dix fois plus petite que cette fréq.

* Filtre Passif:

⇒ Filtres passifs pédagogiques:

①. Filtre passe bas:



* Fonction de transfert:

①: diviseur de tension :

$$\Rightarrow V_e = U_R + V_s \stackrel{U_c}{=} I_R R \quad \text{--- ①}$$

$$= R I_R + V_s \Rightarrow I_R = ?$$

$$\star I_R = I_C = C \cdot \frac{dV_S}{dt} = j\omega C V_S \quad \text{--- ②}$$

$$\frac{dV_S}{dt} = j\omega V_S$$

$$\textcircled{2} \rightarrow V_e = R \cdot j\omega C V_S + V_s$$

$$1. V_e = V_s (j\omega RC + 1)$$

$$\boxed{\frac{V_s}{V_e} = \frac{1}{1 + j\omega RC}}$$

$$\textcircled{2}: \Rightarrow V_e = U_L + V_s = U_R$$

$$V_e = L \cdot \frac{dI_L}{dt} + V_s$$

$$V_e = L \cdot j\omega I_L + V_s \quad \text{--- ①}$$

$$I_L = I_R = \frac{U_R}{R} = \frac{V_s}{R} \quad \text{--- ②}$$

$$\textcircled{2} \rightarrow \textcircled{1} \quad V_e = \frac{L}{R} j\omega V_s + V_s$$

$$V_e = V_s (j\omega \frac{L}{R} + 1)$$

$$\boxed{\frac{V_s}{V_e} = \frac{1}{1 + j\omega \frac{L}{R}}}$$

→ la forme générale:

$$\boxed{H = \frac{V_s}{V_e} = \frac{A}{1 + j\frac{\omega}{\omega_0}}}$$

$$A = 1$$

$$\omega_0 = \frac{1}{RC} \text{ ou } \omega_0 = \frac{R}{L} \text{ (pulsation propre)}$$

→ le module :

$$|H| = \left| \frac{V_s}{V_e} \right| = \frac{1}{\sqrt{1 + \left(\frac{\omega}{\omega_0} \right)^2}}$$

→ le module en décibel :

$$\begin{aligned} H_{dB} &= 20 \log (|H|) \\ &= 20 \log \left(\frac{1}{\sqrt{1 + \left(\frac{\omega}{\omega_0} \right)^2}} \right) \\ &= 20 \log (1) - 20 \log \left(\sqrt{1 + \left(\frac{\omega}{\omega_0} \right)^2} \right) \\ &= -20 \log \left(1 + \left(\frac{\omega}{\omega_0} \right)^2 \right)^{1/2} \\ &= \frac{1}{2} (-20 \log (1 + (\frac{\omega}{\omega_0})^2)) \\ \boxed{H_{dB} = -10 \log \left(1 + \left(\frac{\omega}{\omega_0} \right)^2 \right)} \end{aligned}$$

→ on pose : $\alpha = \frac{\omega}{\omega_0}$ (pulsation réduite)

* $\alpha \rightarrow 0$: $H \rightarrow 1 \rightarrow$ domaine passif

$\lim_{\alpha \rightarrow 0} H_{dB} = 0 \rightarrow$ on a une asymptote horizontale à 0 dB.

* $\alpha \rightarrow \infty$: $H \rightarrow 0 \rightarrow$ domaine actif.

$$\lim_{\alpha \rightarrow \infty} H_{dB} = -\infty$$

lorsque: $\alpha \rightarrow \infty$ c.à.d. $\omega \rightarrow \infty$ [1 décadé]

$$\Rightarrow H_{dB} = -10 \log \left(1 + \left(\frac{\omega}{\omega_0} \right)^2 \right)$$

$$H_{dB} \approx -10 \log \left(\frac{\omega}{\omega_0} \right)^2$$

$$\Rightarrow H_{dB} = -20 \log \left(\frac{\omega}{\omega_0} \right)$$

→ si on parcourt une décade de ω à 10 ω :

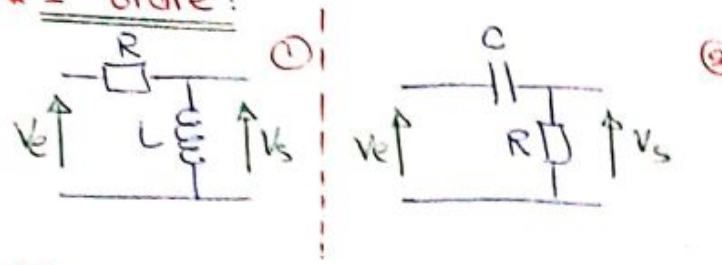
$$H_{dB} = -20 \log \left(\frac{\omega}{\omega_0} \right) \stackrel{\text{Logarithme}}{=} \text{Log}_10 \frac{\omega}{\omega_0}$$

$$\begin{aligned} \Rightarrow H_{dB} &= -20 \log \left(\frac{10\omega}{\omega_0} \right) \\ &= -20 \log \left(\frac{\omega}{\omega_0} \right) - 20 \log \left(\frac{10}{1} \right) \\ &= -20 \log \left(\frac{\omega}{\omega_0} \right) - 20 \text{ (dB)} \end{aligned}$$

→ le passage d'une décade à l'autre retire 20 dB à l'asymptote, nous avons une asymptote à -20 dB/décade.

②. Filtre passe haut :

* 1^{er} ordre :



②

①:

→ fonction de transfert:

$$V_e = U_R + V_s \xrightarrow{U_L}$$

$$U_R = RI_R \Rightarrow I_R = I_L = ?$$

$$U_L = V_s = L \frac{dI_L}{dt} = j\omega L I_L$$

$$\Rightarrow \frac{dI_L}{dt} = \frac{V_s}{L} = j\omega I_L$$

$$\Rightarrow V_e = j\omega R \frac{V_s}{L} + V_s$$

$$V_e = V_s \left(j\omega \frac{R}{L} + 1 \right)$$

$$H = \frac{V_s}{V_e} =$$

→ Du signal continu au numérique :

* Numérisation :

a pour but de préparer le signal au codage puis à la transmission.
permet d'effectuer les traitements sur les machines informatiques (DSP).

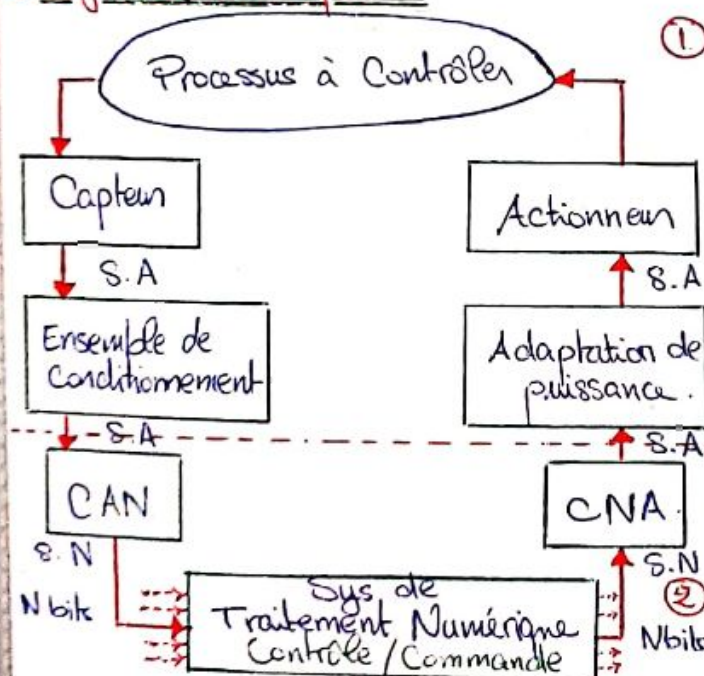
* Avantages :

- Capacité de stockage.
- Facilité de traitement et de transfert.
- Immunité contre les bruits.

→ 3 opérations :

- * Echantillonnage
- * Quantification
- * Codage.

* Système numérique :



* Processus à contrôler : grandeur physique (mouvement mécanique, variation de température, ...)

* Capteur : transforme le grandeur physique en un signal analogique → la mesure.

* Signal analogique : exp:
- tension issue d'un capteur de température.
- tension issue d'un capteur d'humidité.
... etc

* Ensemble de conditionnement : amplificateurs, filtres, -- etc.

* CAN : transforme le signal analogique en signal numérique.

* Système de traitement numérique : assure le traitement numérique de l'info. Ce sys. est constitué d'un microprocesseur ou d'un microcontrôleur, DSP, calculateur numérique FPGa ...
[Contrôle / Commande] ordinateur

* CNA : transforme (convertie) le signal numérique de N bits en provenance du microprocesseur en un signal (tension ou courant) analogique.

* Adaptation de puissance : variateur, distributeur, électrovane, contacteur, ... etc.

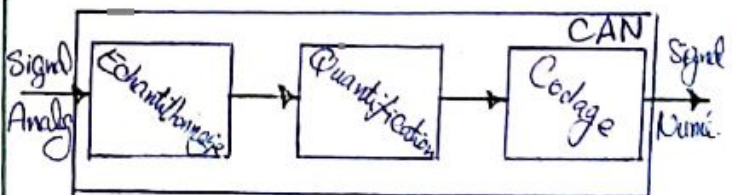
* Actionneur : transforme le signal Analog en grandeur physique.

①. domaine analogique.

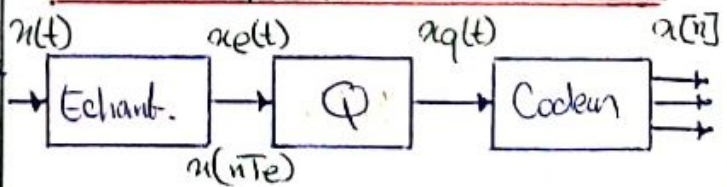
②. domaine numérique.

Rem. : les qualités du traitement numérique de l'info = son développement pour résoudre les problèmes de contrôle / commande de procédés industriels.

* Synoptique du principe de Numérisation :

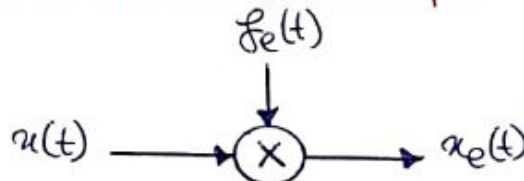


* Réalisation pratique de Numérisation :



①. L'Echantillonnage :

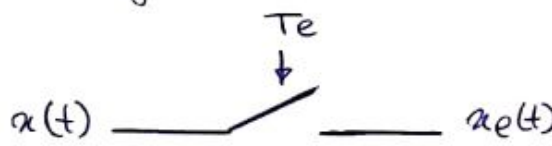
- Prélèvement de la valeur du signal $x(t)$ à des intervalles de temps T_e (pas ou période d'échantillonnage).
 - découpage temporel du signal à des instants réguliers (T_e).
 - est une modulation d'amplitude.
 - est réalisé par un échantilleur souvent symbolisé par un interrupteur.
- discréttisation du temps



$x(t)$: le signal analogique

$f_e(t)$: la fct d'échantillonnage.

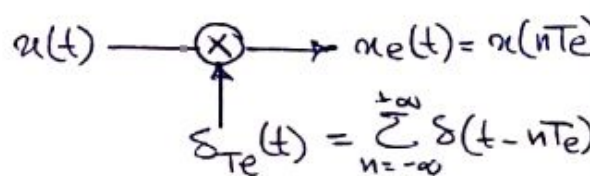
$x_e(t)$: le signal échantillonné.



* Echantillonage Idéal :

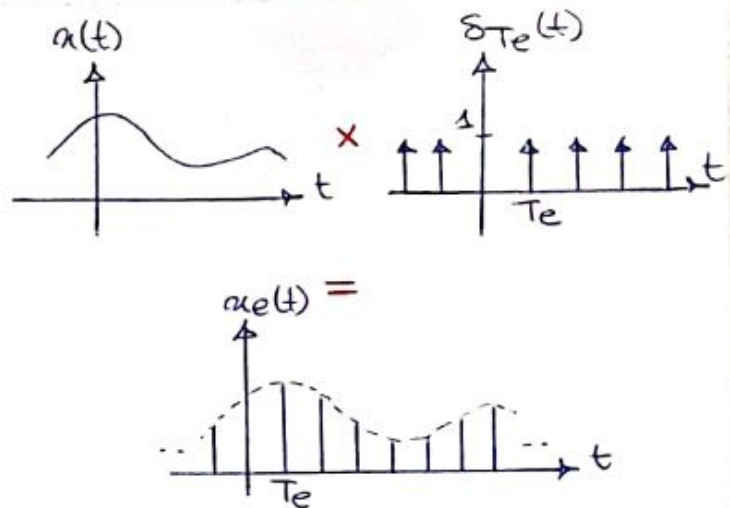
- prélèvement pendant un temps infiniment court des valeurs de $x(t)$ à $t = nT_e$ (multiple d'entier de T_e).

→ est la multiplication du $x(t)$ et d'une suite d'impulsion (Peigne de Dirac) de période d'échant. T_e .



$$\begin{aligned} \Rightarrow x_e(t) &= x(t) \cdot s_{T_e}(t) \\ &= x(t) \cdot \sum_{n=-\infty}^{+\infty} \delta(t - nT_e) \\ &= \sum_{n=-\infty}^{+\infty} x(t - nT_e) \end{aligned}$$

$$x_e(t) = x(nT_e)$$



* Spectre du signal échantillonné :

le signal échantillonné :

$$x_e(t) = x(t) \cdot s_{T_e}(t)$$

TF:

$$X_e(f) = X(f) * S_{F_e}(f)$$

théorème de Plancherel

⇒ la TF de $s_{T_e}(t)$:

puisque $s_{T_e}(t)$ est périodique, on calcule la décomposition de la série de Fourier de la fct de Peigne de Dirac :

$$S_{T_e}(t) = \sum_{n=-\infty}^{+\infty} S(t - nT_e) = \begin{cases} 1 & t = nT_e \\ 0 & \text{ailleurs} \end{cases}$$

$$\Rightarrow DSF[S_{T_e}(t)] = g(t) = \sum_{n=-\infty}^{+\infty} C_n \cdot e^{j2\pi nft}$$

$$C_n = \frac{1}{T_e} \int_0^{T_e} 0 \cdot e^{-j2\pi nft} dt = 0 \quad \forall n \neq 0$$

$$t=0 \Rightarrow C_n = \frac{1}{T_e} \left[1 \cdot e^{-j2\pi nft} \right]_{t=0}$$

$$C_n = \frac{1}{T_e}$$

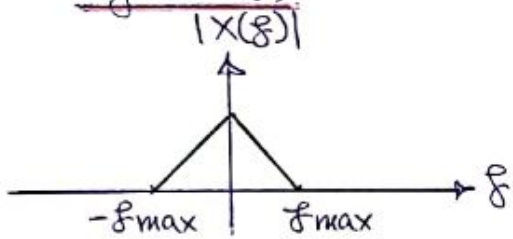
$$\begin{aligned} DSF[S_{T_e}(t)] &= \sum_{n=-\infty}^{+\infty} C_n \cdot e^{j2\pi nft} \\ &= \sum_{n=-\infty}^{+\infty} \frac{1}{T_e} e^{j2\pi nft} \end{aligned}$$

$$DSF[S_{T_e}(t)] = \frac{1}{T_e} \sum_{n=-\infty}^{+\infty} e^{j2\pi nft} = f(t)$$

$$TF[g(t)] = F \sum_{n=-\infty}^{+\infty} \delta(f - nF_e)$$

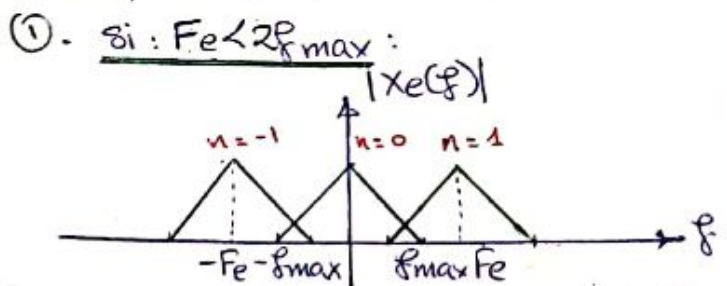
$$\begin{aligned}
 \rightarrow \text{TF}[x_e(t)] &= \text{TF}[u(t) \cdot s_{Te}(t)] \\
 &= \sum_{n=-\infty}^{+\infty} u(t) \sum_{m=-\infty}^{+\infty} S(t-nTe) \cdot e^{-j2\pi f t} \cdot \delta t \\
 &= \sum_{n=-\infty}^{+\infty} u(nTe) \cdot e^{-j2\pi nTe} \cdot \delta(t-nTe) \\
 &= \sum_{n=-\infty}^{+\infty} \sum_{m=-\infty}^{+\infty} S(t-nTe) e^{-j2\pi f(t-nTe)} \cdot \delta(t-nTe) \\
 &= \text{TF}[u(nTe)] \cdot \text{TF}\left[\sum_{n=-\infty}^{+\infty} S(t-nTe)\right] \\
 &\quad \text{Convolution} \\
 \Rightarrow X_e(f) &= X(f) * S_{Fe}(t) \\
 &= X(f) * Fe \sum_{n=-\infty}^{+\infty} S(f-nFe) \\
 X_e(f) &= Fe \sum_{n=-\infty}^{+\infty} X(f-nFe)
 \end{aligned}$$

Exemple: si on a le spectre suivant du signal $u(t)$:



$$\Rightarrow X(f) \text{ est borné : } |f| > f_{\max} \Rightarrow |X(f)| = 0$$

* le spectre du signal échantillonné :



→ il y a chevauchement = recouvrement (n: le motif élémentaire) des motifs

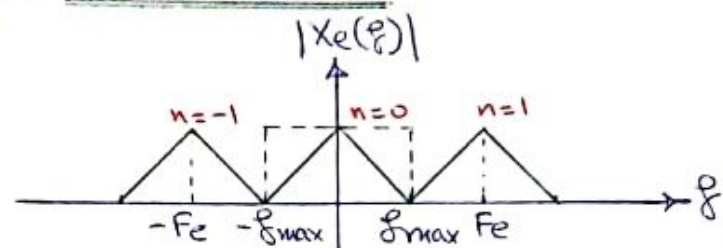
→ on appelle ça : "réplique de spectre" (aliasing)

→ on appelle ce spectre : "sous-échantillonné".

→ on ne peut pas récupérer le spectre

$X(f)$ par le filtrage donc pas de signal initial $u(t)$.

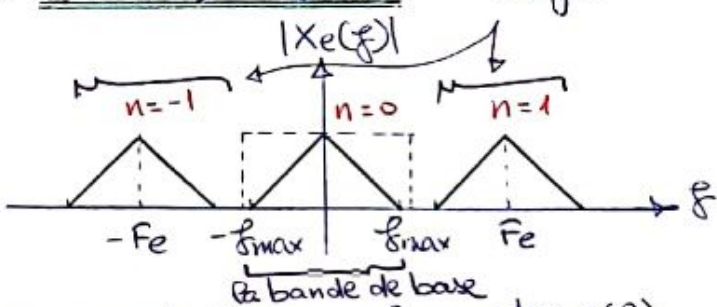
②. Si $f_e = 2f_{\max}$:



→ on peut récupérer le spectre $X(f)$ par le filtrage (un filtre idéal passe bas) et reconstruire le signal initial $u(t)$ à partir de la connaissance de son échantillonage $x_e(t)$.

→

③. Si $f_e > 2f_{\max}$: les bandes images



→ on peut récupérer le spectre $X(f)$ par le filtrage, et reconstruire le signal initial $u(t)$. [pas de recouvrement].

→ on appelle ce spectre : "sur-échantillonné".

* Théorème d'échantillonnage = Théorème de Shannon : (conditions de Shannon)

pour échantillonner un signal :

* il faut le signal $u(t)$ à bande passante finie : $|X(f)| = 0, |f| > 0$.

* la fréquence d'échantillonnage soit supérieur à double de fréquence maximale.

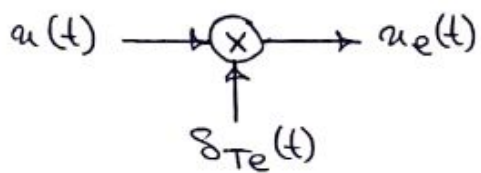
$$f_e \geq 2f_{\max}$$

fz. daham

* $f_N = \frac{f_e}{2} \geq f_{\max}$; f_N : appelé la fréquence de Nyquist (Shanon), est la fréquence maximale pour éviter les distorsions de spectre.

Rem.: l'échantillonnage a introduit une périodicité dans l'espace des fréquences.

* Démonstration de Spectre du signal Echant.



$$\Rightarrow u_e(t) = u(t) \cdot S_{T_e}(t) \\ = u(t) \cdot \sum_{n=-\infty}^{+\infty} \delta(t - nT_e)$$

$$[u(t) \cdot \delta(t - t_0) = u(t_0) \delta(t - t_0)]$$

$$u_e(t) = \sum_{n=-\infty}^{+\infty} u(nT_e) \cdot \delta(t - nT_e)$$

Spectre:

$$\begin{aligned} \text{TF}[X_e] &= X_e(f) = \text{TF}[u(t) \cdot S_{T_e}(t)] \\ &= \int_{-\infty}^{+\infty} u(t) \cdot \sum_{n=-\infty}^{+\infty} \delta(t - nT_e) \cdot e^{-j2\pi ft} \cdot dt \\ &= \sum_{n=-\infty}^{+\infty} u(nT_e) \sum_{n=-\infty}^{+\infty} \delta(t - nT_e) \cdot e^{-j2\pi f t} \cdot dt \\ &= \sum_{n=-\infty}^{+\infty} u(nT_e) \underbrace{\int_{-\infty}^{+\infty} \sum_{n=-\infty}^{+\infty} \delta(t - nT_e) \cdot e^{-j2\pi f(t - nT_e)} \cdot dt}_{\delta_{T_e}}$$

$$X_e(f) = X(f) * S_{F_e}(f)$$

Th. Pancherel

Suite

fz. daham

$$X_e(f) = X(f) * S_{F_e}(f)$$

$$S_{F_e}(f) = \text{TF}[S_{T_e}]$$

$$S_{T_e}(t) = \text{DSF}[S_{T_e}(t)] = \sum_{n=-\infty}^{+\infty} S_n \cdot e^{-j2\pi nt}$$

$$S_n = C_n = \frac{1}{T_e} \sum_{t=T_e/2}^{T_e/2} S_{T_e}(t) \cdot e^{-j2\pi nt}$$

$$S_{T_e}(t) = \sum_{n=-\infty}^{+\infty} S(t - nT_e) = \begin{cases} 0; \text{ ailleurs} \\ 1; t = nT_e \end{cases}$$

$$\Rightarrow S_n = \frac{1}{T_e} \left[1 \cdot e^{-j2\pi n f_e} \right]_{t=0}$$

$$S_n = \frac{1}{T_e} = f_e$$

[puisque $\int_{-T_e/2}^{T_e/2} = 0$ sauf à $t=0$ $S(t)=1$]

$$\Rightarrow S_{T_e}(t) = \sum_{n=-\infty}^{+\infty} \frac{1}{T_e} e^{-j2\pi n f_e t}$$

$$\begin{aligned} \Rightarrow \text{TF}[S_{T_e}(t)] &= \sum_{n=-\infty}^{+\infty} \frac{1}{T_e} \sum_{n=-\infty}^{+\infty} e^{-j2\pi n f_e t} \\ &\quad \text{linéarité} \quad e^{-j2\pi f_e t} \cdot dt \\ &= f_e \sum_{n=-\infty}^{+\infty} \sum_{n=-\infty}^{+\infty} e^{-j2\pi t(f_e - n f_e) \cdot dt} \end{aligned}$$

* pour $f = n f_e$:

$$\begin{aligned} S_{F_e}(f) &= f_e \sum_{n=-\infty}^{+\infty} \sum_{n=-\infty}^{+\infty} e^{-j2\pi t(f_e - n f_e) \cdot dt} \\ &= f_e \sum_{n=-\infty}^{+\infty} \sum_{n=-\infty}^{+\infty} 1 \cdot dt \\ &= f_e \sum_{n=-\infty}^{+\infty} [t]_{-\infty}^{+\infty} \\ &= f_e \sum_{n=-\infty}^{+\infty} (\underbrace{+\infty - (-\infty)}_{+\infty}) \end{aligned}$$

$$S_{F_e}(f) = f_e \sum_{n=-\infty}^{+\infty} \delta(f - n f_e)$$

$$\Rightarrow X_e(f) = X(f) * S_{F_e}(f)$$

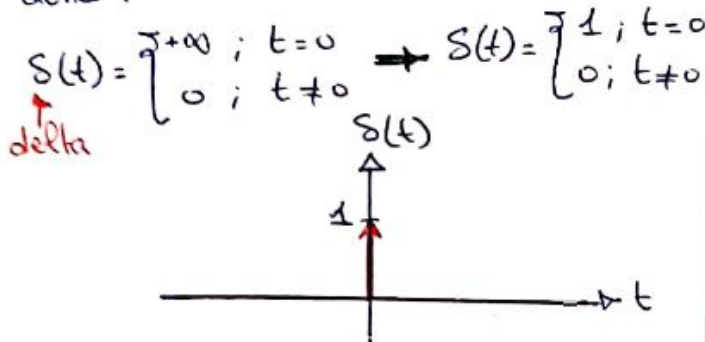
$$\begin{aligned} &= X(f) * f_e \sum_{n=-\infty}^{+\infty} \delta(f - n f_e) \\ &= f_e \cdot X(f) * \sum_{n=-\infty}^{+\infty} \delta(f - n f_e) \end{aligned}$$

$$X_e(f) = f_e \sum_{n=-\infty}^{+\infty} X(f - n f_e)$$

$$[u(t) * \delta(t) = u(t) \\ u(t) * \delta(t - t_0) = u(t - t_0)]$$

* Distribution de Dirac :

- * aussi appelé : Impulsion ou Pic de Dirac.
- * appelé par abus langage "fonction de Dirac".
- * introduite par Paul Dirac.
- * peut être considérée comme une fonction qui prend une valeur infinie en "0", et nulle partout ailleurs, la valeur infinie en zéro correspond à une "masse = 1", donc :



- * Dirac est égale à la dérivée de la fonction de Heaviside (échelon d'unité) :

$$\delta(t) = H'(t) = u'(t)$$

$$H(t) = \int_{-\infty}^{+\infty} H'(t) dt = \int_{-\infty}^{+\infty} \delta(t) dt = 1$$

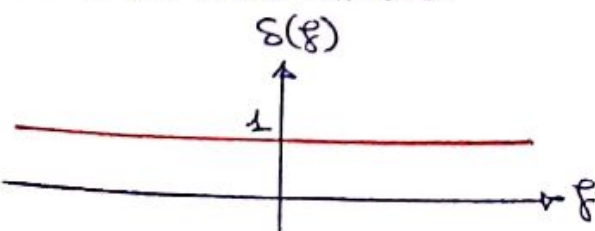
- * En physique on s'intéresse principalement à l'Energie ou à la Puissance du signal, on représente souvent le spectre d'amplitude du Pic du Dirac avec "une valeur unité".

$$\text{TF}[\delta] = \delta(f) = \int_{-\infty}^{+\infty} \delta(t) e^{-j2\pi ft} dt$$

$$= [\delta(0) \cdot e^{-j2\pi f(0)}]_{t=0}$$

$\delta(f) = 1$

\Rightarrow dans l'intervalle $[-\infty, +\infty]$; $t=0$ est le seul terme non nulle.



* Propriétés :

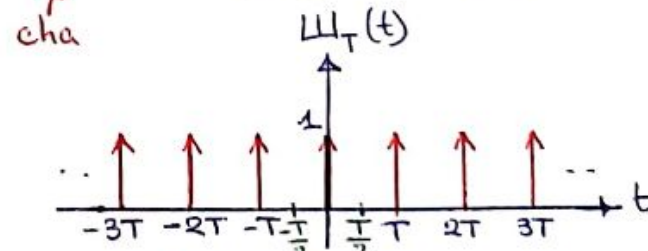
- * $\delta(-t) = \delta(t)$; δ est une fonction paire.
- * $u(t) \cdot \delta(t) = u(t)$
- * $u(t) \cdot \delta(t - t_0) = u(t_0)$
- * $\int_{-\infty}^{+\infty} \delta(t) dt = 1$
- * $\int_{-\infty}^{+\infty} \delta(t - t_0) dt = 1 / \delta(t - t_0) = \begin{cases} 1 & t=t_0 \\ 0 & t \neq t_0 \end{cases}$
- * $\langle u(t), \delta(t) \rangle = \int_{-\infty}^{+\infty} u(t) \cdot \delta(t) dt = u(0)$
- * $\langle u(t), \delta(t - t_0) \rangle = \int_{-\infty}^{+\infty} u(t) \cdot \delta(t - t_0) dt = u(t_0)$
- * $u(t) * \delta(t) = \int_{-\infty}^{+\infty} u(\tau) \cdot \delta(t - \tau) d\tau = u(t)$
- * $u(t) * \delta(t - t_0) = \int_{-\infty}^{+\infty} u(\tau) \cdot \delta(t - t_0 - \tau) d\tau = u(t - t_0)$
- * $\text{TF}[\delta(t)] = 1$

* Peigne de Dirac : (distribution)

- est une somme de distribution de Dirac espacées de T (séparées par un pas de temps T) \Rightarrow périodique

$$\Pi_T(t) = \sum_{n=-\infty}^{+\infty} \delta_{nT}(t) = \sum_{n=-\infty}^{+\infty} \delta(t - nT)$$

cha



* TF de Peigne de Dirac :

puisque $\Pi_T(t)$ est périodique, on peut la développer en série de Fourier :

$$\text{DSF}[\Pi_T(t)] = \sum_{n=-\infty}^{+\infty} C_n e^{j2\pi nt}$$

C_n

fz. daham

$$\Rightarrow s_n = c_n = \frac{1}{T} \int_{-T/2}^{T/2} \mathbb{W}_T(t) e^{-j2\pi n f_0 t} dt$$

$$= \frac{1}{T} \sum_{n=-\infty}^{+\infty} \mathbb{S}_{nT}(t) e^{-j2\pi n f_0 t} dt$$

Puisque

$$= \frac{1}{T} \sum_{n=-\infty}^{+\infty} \int_{-T/2}^{T/2} \delta(t - nt) e^{-j2\pi n f_0 t} dt$$

$$= \frac{1}{T} \sum_{n=0}^{+\infty} \delta(0 - nt) e^{-j2\pi n f_0 t}$$

$$s_n = \frac{1}{T}$$

\Rightarrow sur l'intervalle $[-\frac{T}{2}, \frac{T}{2}]$, seul le terme pour $(n=0)$ et $(t=0)$ est non nul (les autres sont nuls).

$$\Rightarrow \mathbb{W}_T(t) = \sum_{n=-\infty}^{+\infty} \frac{1}{T} e^{j2\pi n f_0 t}$$

$$\Rightarrow \text{TF} [\mathbb{W}_T(t)] = \text{TF} \left[\frac{1}{T} \sum_{n=-\infty}^{+\infty} e^{j2\pi n f_0 t} \right]$$

$$= \sum_{n=-\infty}^{+\infty} \frac{1}{T} \sum_{n=-\infty}^{+\infty} e^{j2\pi n f_0 t} e^{-j2\pi n f t} dt$$

$$= \frac{1}{T} \sum_{n=-\infty}^{+\infty} e^{-j2\pi t(f - n f_0)}$$

$$\Rightarrow f = n f_0:$$

$$\mathbb{W}_T(f) = \frac{1}{T} \sum_{n=-\infty}^{+\infty} \sum_{-\infty}^{+\infty} e^0 dt$$

$$= \frac{1}{T} \sum_{n=-\infty}^{+\infty} [t]_{-\infty}^{+\infty}$$

$$= \frac{1}{T} (+\infty - \infty)$$

$$= \frac{1}{T} (+\infty)$$

$$\mathbb{W}_T(f) = \frac{1}{T} \sum_{n=-\infty}^{+\infty} \delta(f - n f_0)$$

$\Rightarrow f \neq n f_0 :$

$$\mathbb{W}_T(f) = 0$$

\Rightarrow Théorème : Formule Sommatoire de Poisson:

$$\sum_{n \in \mathbb{Z}} f(nT) = \frac{1}{T} \sum_{n \in \mathbb{Z}} F\left(\frac{n}{T}\right)$$

* Lorsqu'on effectue l'échantillonnage d'un signal dans son domaine temporel, sa reconstruction risque d'être déformée si le pas d'échantillonnage T_e est plus grand, ce qui résulte la perte de l'info.

\Rightarrow pour préserver l'information des pertes dues à l'échantillonnage dans le domaine temporel, on étudie le signal dans le domaine spectral.

* Reconstitution d'un signal :

le signal échantillonné :

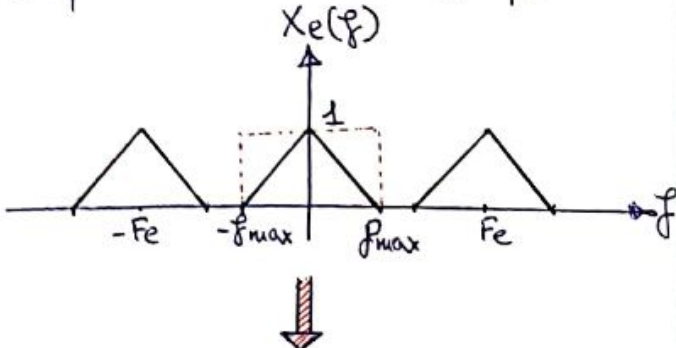
$$u_e(t) = u(t) \cdot \sum_{n=-\infty}^{+\infty} S(t - nT_e)$$

\downarrow
TF

\downarrow
TF

$$X_e(f) = F_e X(f) + \sum_{n=-\infty}^{+\infty} S(f - nF_e)$$

Le spectre échantillonné : (exp)



$$X_e(f) \xrightarrow{\text{Filtre passe-bas}} Y(f)$$

→ Filtrage fréquentiel :

- multiplication fréquentielle.
- convolution temporelle.

$$H(f) = TTF_e(f) = \text{rect}_{F_e}(t) = \begin{cases} 1 & \text{si } -\frac{F_e}{2} \leq f \leq \frac{F_e}{2} \\ 0 & \text{ailleurs} \end{cases}$$

$$[F_e = 2f_{\max} \Rightarrow f_{\max} = \frac{F_e}{2}]$$



$$Y(f) = X_e(f) \cdot H(f)$$

$$= F_e X(f) * \sum_{n=-\infty}^{+\infty} S(f - nF_e) \cdot \text{rect}_{F_e}(f)$$

$\text{rect}_{F_e}(t)$

$$\sum_{n=-\infty}^{+\infty} \text{rect}_{F_e}(f - nF_e) = 1$$



$$\Rightarrow Y(f) = F_e \cdot X(f)$$

$$y(t) = TF^{-1}[Y(f)] = TF^{-1}[F_e \cdot X(f)]$$

$$= TF^{-1}[X_e(f) \cdot H(f)]$$

$$\Rightarrow TF^{-1}[F_e X(f)] = TF^{-1}[X_e(f) \cdot H(f)]$$

$$F_e \cdot u(t) = TF^{-1}[X_e(f)] * TF^{-1}[H(f)]$$

$$= u_e(t) * h(t)$$

$$= \underbrace{u(t) \cdot \sum_{n=-\infty}^{+\infty} S(t - nT_e)}_{\text{sinc}(\pi f_e t)} * \underbrace{F_e}_{\text{sinc}(\pi f_e t)}$$

$$= \sum_{n=-\infty}^{+\infty} u(nT_e) \cdot S(t - nT_e) * F_e$$

$$\underbrace{\text{sinc}(\pi f_e t) \delta(t - nT_e)}_{\text{sinc}(\pi f_e t)}$$

$$\int_{-\infty}^{+\infty} \text{sinc}(\pi f_e z) \delta(t - nT_e - z) dz =$$

$$\text{sinc}(\pi f_e(t - nT_e))$$

$$\Rightarrow F_e \cdot u(t) = F_e \sum_{n=-\infty}^{+\infty} u(nT_e) \cdot \text{sinc}(\pi f_e(t - nT_e))$$

$$u(t) = \sum_{n=-\infty}^{+\infty} u(nT_e) \text{sinc}(\pi f_e(t - nT_e))$$

→ la quantité : $\text{sinc}(\pi f_e(t - nT_e))$ est dite : "l'interpolation de Shannon".

→ il existe diverses méthodes pour reconstituer le signal, on peut citer :

- interpolation
- extrapolation.

→ la condition pour reconstituer le signal est la fréquence d'échantillonnage soit supérieure ou égale à deux fois la plus haute fréquence contenue dans le signal : Condition (th.) de Shannon : $F_e \geq 2f_{\max}$

$$h(t) = TF^{-1}[H(f)] = \sum_{n=-\infty}^{+\infty} \text{rect}_{F_e}(t) e^{j \frac{2\pi f_e}{F_e} n} df$$

$$= \sum_{f=-F_e/2}^{F_e/2} 1 \cdot e^{j 2\pi f_e t} df$$

$$= \frac{1}{j 2\pi t} [e^{j 2\pi f_e t}]_{-F_e/2}^{F_e/2}$$

$$= \frac{1}{j 2\pi t} [e^{j \pi F_e t} - e^{-j \pi F_e t}]$$

$$= \frac{1}{\pi t} \sin(\pi F_e t) \times \frac{F_e}{F_e} = F_e \text{sinc}(\pi F_e t)$$

* Echantillonnage Réel :

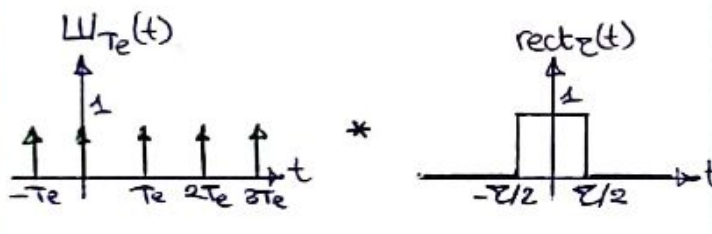
- l'échantillonage idéal : le signal $x(t)$ est multiplié par une impulsion de Dirac ("pas de largeur" τ).
physiquement irréalisable
- l'échantillonage réel est réalisé par une impulsion rectangulaire de largeur " τ " finie (signal porte).
- il y a 3 principales méthodes sont généralement utilisées :

1. Echantillonneur naturel :

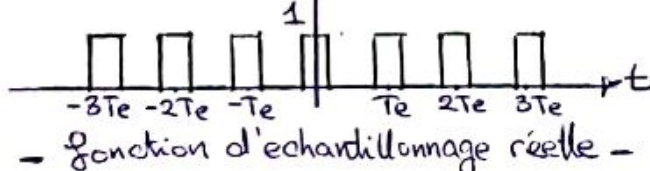
- le signal échantillé sera constitué d'une suite d'impulsions distantes de " T_e " et de largeur " τ " (signal porte), multiplié par un signal analogique ($x(t)$).
- Suite d'impulsions rectangulaire :

$$y(t) = \text{rect}_\tau(t) * \sum_{n=-\infty}^{+\infty} \delta(t - nT_e)$$

$$y(t) = \sum_{n=-\infty}^{+\infty} \text{rect}_\tau(t - nT_e)$$



$$\hat{y}(t) = \sum_{n=-\infty}^{+\infty} \text{rect}_\tau(t - nT_e)$$



- fonction d'échantillonage réelle -

- sa transformée de Fourier, en utilisant le théorème de Plancharel :

$$\begin{aligned} Y(f) &= \text{TF}\{y(t)\} \\ &= \text{TF}\left[\text{rect}_\tau(t) * \sum_{n=-\infty}^{+\infty} \delta(t - nT_e)\right] \\ &= \text{TF}[\text{rect}_\tau(t)] \cdot \text{TF}\left[\sum_{n=-\infty}^{+\infty} \delta(t - nT_e)\right] \\ &= \tau \cdot \text{sinc}(\tau f) \cdot T_e \sum_{n=-\infty}^{+\infty} S(f - nT_e) \end{aligned}$$

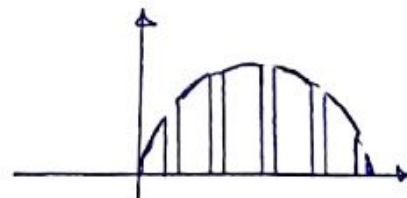
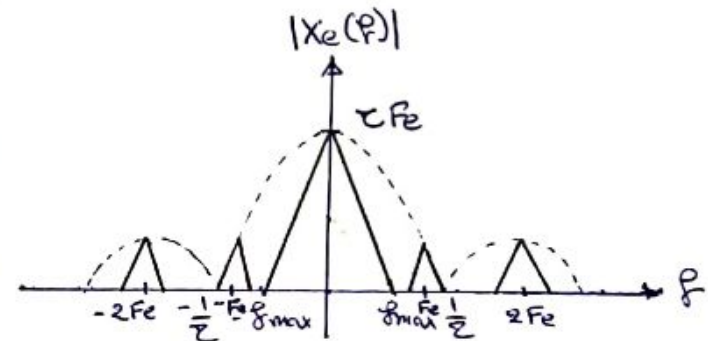
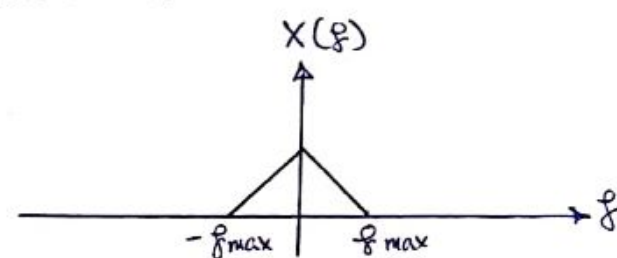
⇒ le signal échantillé devient :

$$\begin{aligned} x_e(t) &= x(t) \cdot y(t) \\ &= x(t) \cdot \sum_{n=-\infty}^{+\infty} \text{rect}_\tau(t - nT_e) \end{aligned}$$

⇒ sa transformée de Fourier devient :

$$\begin{aligned} X_e(f) &= \text{TF}[x_e(t)] = \text{TF}[x(t) \cdot y(t)] \\ &= X(f) * Y(f) \\ &= X(f) * \tau \text{sinc}(\tau f) \cdot T_e \sum_{n=-\infty}^{+\infty} S(f - nT_e) \\ X_e(f) &= \tau T_e \text{sinc}(\tau f) \cdot \sum_{n=-\infty}^{+\infty} X(f - nT_e) \end{aligned}$$

On retrouve la même allure de spectre modulé en amplitude par une fonction en sinus cardinale.



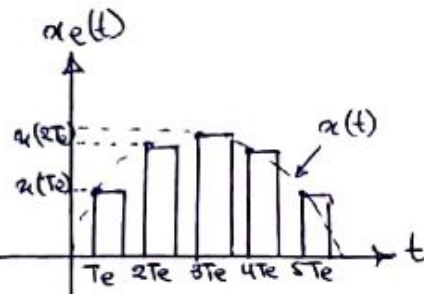
→ Pour se rapprocher d'un échantillonage idéal et qu'ainsi le signal soit facilement reconstruisible, il faut que " τ " soit le plus petit possible.

dans le cas où " τ " est du même ordre de grandeur que T_e , il faudra : $T_e > 2f_{max}$

→ Exemples d'échantillonneurs :
le signal échantilloné réel est constitué d'impulsions distinctes de " T_e " et de largeur " τ ". L'amplitude de ces impulsions sera fonction du procédé d'échantillonnage utilisé :

* Echantillonneur Bloqueur ou Régulier :

l'amplitude d'un échantillon de $x(t)$ pendant la durée " τ " est égale à : $x(t_0)$.

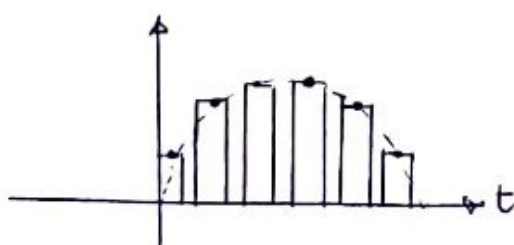


$$x_e(t) = [x(t) \cdot \text{rect}_{T_e}(t)] * \text{rect}_\tau(t)$$

* Echantillonneur Moyenneur :

consiste à utiliser des impulsions de largeur finie " τ " et ensuite de considérer la valeur moyenne de $x(t)$ pendant la durée " τ " de l'impulsion.

$$x_e(t) = \frac{1}{\tau} [x(t) * \text{rect}_\tau(t)] \cdot \text{rect}_{T_e}(t)$$



→ amplitude égale à la moyenne de $x(t)$ sur l'intervalle.

⇒ les échantillonnages Moyenneur et Bloqueur sont très proche de l'échantillonnage idéal, parce que la durée de l'impulsion d'échantillonnage est très petite relativement à la période du signal à échantillonner.

② La Quantification :

- * est une discréttisation d'amplitude après une discréttisation du temps (échantillonnage)
- * est une opération qui consiste à faire une approximation de chaque valeur du signal échantilloné $x_e(t)$ par un multiple entier d'une quantité élémentaire "q" (appelé : "pas de quantification" ou "quantum de conversion"), ⇒ par une loi qui est obtenue en subdivisant la plage de conversion en intervalles de valeur **carré**
- l'amplitude maximale du signal est découpée en intervalles identiques de valeur "q".

- * Si "q" est constant quelle que soit l'amplitude du signal ⇒ on parle de "quantification uniforme" et la plus utilisée en pratique.
- * dans tous les cas, la quantification est une perte d'information.

- * autrement, si la plage de conversion est subdivisée en "pas de quantification" égaux ⇒ on parle de quantification uniforme.

- * nombre de valeurs représentées :

$$\text{nombre de bits de la représentation numérique } B = \frac{V}{q}$$

la plage de quant. (Volts)

pas de quant. (Volts)

- * le système réalisant l'opération de quantification uniforme n'est pas linéaire.

